

## Rovnice kontinuity

$$\frac{D\varrho}{Dt} + \varrho \nabla \cdot \vec{u} = 0$$

$$\left\{ \frac{\partial \varrho}{\partial t} + (\vec{u} \cdot \nabla) \varrho \right\} + \varrho \nabla \cdot \vec{u} = 0$$

### Kapaliny

$$\nabla \cdot \vec{u} = 0$$

### Kartézské souřadnice

$$\frac{\partial u_x}{\partial x} + \frac{\partial u_y}{\partial y} + \frac{\partial u_z}{\partial z} = 0$$

### Cylindrické souřadnice

$$\frac{1}{r} \frac{\partial}{\partial r} (r u_r) + \frac{1}{r} \frac{\partial u_\varphi}{\partial \varphi} + \frac{\partial u_z}{\partial z} = 0$$

## Cauchyho rovnice dynamické rovnováhy

$$\varrho \frac{D\vec{u}}{Dt} = -\nabla p + \nabla \cdot \vec{\tau} + \varrho \vec{f}$$

$$\varrho \left\{ \frac{\partial \vec{u}}{\partial t} + (\vec{u} \cdot \nabla) \vec{u} \right\} = -\nabla p + \nabla \cdot \vec{\tau} + \varrho \vec{f}$$

### Kartézské souřadnice

$$\varrho \left\{ \frac{\partial u_x}{\partial t} + u_x \frac{\partial u_x}{\partial x} + u_y \frac{\partial u_x}{\partial y} + u_z \frac{\partial u_x}{\partial z} \right\} = -\frac{\partial p}{\partial x} + \frac{\partial \tau_{xx}}{\partial x} + \frac{\partial \tau_{yx}}{\partial y} + \frac{\partial \tau_{zx}}{\partial z} + \varrho f_x$$

$$\varrho \left\{ \frac{\partial u_y}{\partial t} + u_x \frac{\partial u_y}{\partial x} + u_y \frac{\partial u_y}{\partial y} + u_z \frac{\partial u_y}{\partial z} \right\} = -\frac{\partial p}{\partial y} + \frac{\partial \tau_{xy}}{\partial x} + \frac{\partial \tau_{yy}}{\partial y} + \frac{\partial \tau_{zy}}{\partial z} + \varrho f_y$$

$$\varrho \left\{ \frac{\partial u_z}{\partial t} + u_x \frac{\partial u_z}{\partial x} + u_y \frac{\partial u_z}{\partial y} + u_z \frac{\partial u_z}{\partial z} \right\} = -\frac{\partial p}{\partial z} + \frac{\partial \tau_{xz}}{\partial x} + \frac{\partial \tau_{yz}}{\partial y} + \frac{\partial \tau_{zz}}{\partial z} + \varrho f_z$$

## Cylindrické souřadnice

$$\begin{aligned}\varrho \left\{ \frac{\partial u_r}{\partial t} + u_r \frac{\partial u_r}{\partial r} + \frac{u_\varphi}{r} \frac{\partial u_r}{\partial \varphi} - \frac{u_\varphi^2}{r} + u_z \frac{\partial u_r}{\partial z} \right\} &= -\frac{\partial p}{\partial r} + \\ &+ \frac{1}{r} \frac{\partial}{\partial r} (r \tau_{rr}) + \frac{1}{r} \frac{\partial \tau_{\varphi r}}{\partial \varphi} - \frac{\tau_{\varphi \varphi}}{r} + \frac{\partial \tau_{zr}}{\partial z} + \varrho f_r \\ \varrho \left\{ \frac{\partial u_\varphi}{\partial t} + u_r \frac{\partial u_\varphi}{\partial r} + \frac{u_\varphi}{r} \frac{\partial u_\varphi}{\partial \varphi} + \frac{u_r u_\varphi}{r} + u_z \frac{\partial u_\varphi}{\partial z} \right\} &= -\frac{1}{r} \frac{\partial p}{\partial \varphi} + \\ &+ \frac{1}{r^2} \frac{\partial}{\partial r} (r^2 \tau_{r\varphi}) + \frac{1}{r} \frac{\partial \tau_{\varphi\varphi}}{\partial \varphi} + \frac{\partial \tau_{z\varphi}}{\partial z} + \varrho f_\varphi \\ \varrho \left\{ \frac{\partial u_z}{\partial t} + u_r \frac{\partial u_z}{\partial r} + \frac{u_\varphi}{r} \frac{\partial u_z}{\partial \varphi} + u_z \frac{\partial u_z}{\partial z} \right\} &= -\frac{\partial p}{\partial z} + \\ &+ \frac{1}{r} \frac{\partial}{\partial r} (r \tau_{rz}) + \frac{1}{r} \frac{\partial \tau_{\varphi z}}{\partial \varphi} + \frac{\partial \tau_{zz}}{\partial z} + \varrho f_z\end{aligned}$$

## Newtonské tekutiny

$$\vec{\tau} = -\frac{2}{3} \mu \vec{\delta} \operatorname{tr} \vec{\Delta} + 2\mu \vec{\Delta} = 2\mu \left[ -\frac{1}{3} \vec{\delta} (\nabla \cdot \vec{u}) + \vec{\Delta} \right]$$

## Newtonské kapaliny

$$\vec{\tau} = 2\mu \vec{\Delta}$$

## Tenzor rychlosti deformace

$$\vec{\Delta} = \frac{1}{2} \left[ \nabla \vec{u} + (\nabla \vec{u})^T \right]$$

## Kartézské souřadnice

$$\begin{aligned}\Delta_{xx} &= \frac{\partial u_x}{\partial x} \\ \Delta_{yy} &= \frac{\partial u_y}{\partial y} \\ \Delta_{zz} &= \frac{\partial u_z}{\partial z} \\ \Delta_{xy} = \Delta_{yx} &= \frac{1}{2} \left[ \frac{\partial u_x}{\partial y} + \frac{\partial u_y}{\partial x} \right] \\ \Delta_{xz} = \Delta_{zx} &= \frac{1}{2} \left[ \frac{\partial u_x}{\partial z} + \frac{\partial u_z}{\partial x} \right] \\ \Delta_{yz} = \Delta_{zy} &= \frac{1}{2} \left[ \frac{\partial u_y}{\partial z} + \frac{\partial u_z}{\partial y} \right]\end{aligned}$$

## Cylindrické souřadnice

$$\begin{aligned}\Delta_{rr} &= \frac{\partial u_r}{\partial r} \\ \Delta_{\varphi\varphi} &= \frac{1}{r} \frac{\partial u_\varphi}{\partial \varphi} + \frac{u_r}{r} \\ \Delta_{zz} &= \frac{\partial u_z}{\partial z} \\ \Delta_{r\varphi} = \Delta_{\varphi r} &= \frac{1}{2} \left[ r \frac{\partial}{\partial r} \left( \frac{u_\varphi}{r} \right) + \frac{1}{r} \frac{\partial u_r}{\partial \varphi} \right] \\ \Delta_{rz} = \Delta_{zr} &= \frac{1}{2} \left[ \frac{\partial u_r}{\partial z} + \frac{\partial u_z}{\partial r} \right] \\ \Delta_{\varphi z} = \Delta_{z\varphi} &= \frac{1}{2} \left[ \frac{\partial u_\varphi}{\partial z} + \frac{1}{r} \frac{\partial u_z}{\partial \varphi} \right]\end{aligned}$$

## Navier–Stokesova rovnice

$$\varrho \frac{D\vec{u}}{Dt} = -\nabla p + \frac{1}{3}\mu \nabla (\nabla \cdot \vec{u}) + \mu \nabla^2 \vec{u} + \varrho \vec{f}$$

### Kapaliny

$$\begin{aligned} \varrho \frac{D\vec{u}}{Dt} &= -\nabla p + \mu \nabla^2 \vec{u} + \varrho \vec{f} \\ \varrho \left\{ \frac{\partial \vec{u}}{\partial t} + (\vec{u} \cdot \nabla) \vec{u} \right\} &= -\nabla p + \mu \nabla^2 \vec{u} + \varrho \vec{f} \end{aligned}$$

### Kartézské souřadnice

$$\begin{aligned} \varrho \left\{ \frac{\partial u_x}{\partial t} + u_x \frac{\partial u_x}{\partial x} + u_y \frac{\partial u_x}{\partial y} + u_z \frac{\partial u_x}{\partial z} \right\} &= -\frac{\partial p}{\partial x} + \mu \left( \frac{\partial^2 u_x}{\partial x^2} + \frac{\partial^2 u_x}{\partial y^2} + \frac{\partial^2 u_x}{\partial z^2} \right) + \varrho f_x \\ \varrho \left\{ \frac{\partial u_y}{\partial t} + u_x \frac{\partial u_y}{\partial x} + u_y \frac{\partial u_y}{\partial y} + u_z \frac{\partial u_y}{\partial z} \right\} &= -\frac{\partial p}{\partial y} + \mu \left( \frac{\partial^2 u_y}{\partial x^2} + \frac{\partial^2 u_y}{\partial y^2} + \frac{\partial^2 u_y}{\partial z^2} \right) + \varrho f_y \\ \varrho \left\{ \frac{\partial u_z}{\partial t} + u_x \frac{\partial u_z}{\partial x} + u_y \frac{\partial u_z}{\partial y} + u_z \frac{\partial u_z}{\partial z} \right\} &= -\frac{\partial p}{\partial z} + \mu \left( \frac{\partial^2 u_z}{\partial x^2} + \frac{\partial^2 u_z}{\partial y^2} + \frac{\partial^2 u_z}{\partial z^2} \right) + \varrho f_z \end{aligned}$$

### Cylindrické souřadnice

$$\begin{aligned} \varrho \left\{ \frac{\partial u_r}{\partial t} + u_r \frac{\partial u_r}{\partial r} + \frac{u_\varphi}{r} \frac{\partial u_r}{\partial \varphi} - \frac{u_\varphi^2}{r} + u_z \frac{\partial u_r}{\partial z} \right\} &= -\frac{\partial p}{\partial r} + \\ &\quad + \mu \left\{ \frac{\partial}{\partial r} \left[ \frac{1}{r} \frac{\partial}{\partial r} (ru_r) \right] + \frac{1}{r^2} \frac{\partial^2 u_r}{\partial \varphi^2} - \frac{2}{r^2} \frac{\partial u_\varphi}{\partial \varphi} + \frac{\partial^2 u_r}{\partial z^2} \right\} + \varrho f_r \\ \varrho \left\{ \frac{\partial u_\varphi}{\partial t} + u_r \frac{\partial u_\varphi}{\partial r} + \frac{u_\varphi}{r} \frac{\partial u_\varphi}{\partial \varphi} + \frac{u_r u_\varphi}{r} + u_z \frac{\partial u_\varphi}{\partial z} \right\} &= -\frac{1}{r} \frac{\partial p}{\partial \varphi} + \\ &\quad + \mu \left\{ \frac{\partial}{\partial r} \left[ \frac{1}{r} \frac{\partial}{\partial r} (ru_\varphi) \right] + \frac{1}{r^2} \frac{\partial^2 u_\varphi}{\partial \varphi^2} + \frac{2}{r^2} \frac{\partial u_r}{\partial \varphi} + \frac{\partial^2 u_\varphi}{\partial z^2} \right\} + \varrho f_\varphi \\ \varrho \left\{ \frac{\partial u_z}{\partial t} + u_r \frac{\partial u_z}{\partial r} + \frac{u_\varphi}{r} \frac{\partial u_z}{\partial \varphi} + u_z \frac{\partial u_z}{\partial z} \right\} &= -\frac{\partial p}{\partial z} + \\ &\quad + \mu \left\{ \frac{1}{r} \frac{\partial}{\partial r} \left[ r \frac{\partial u_z}{\partial r} \right] + \frac{1}{r^2} \frac{\partial^2 u_z}{\partial \varphi^2} + \frac{\partial^2 u_z}{\partial z^2} \right\} + \varrho f_z \end{aligned}$$

# Invariante tenzoru rychlosti deformace

## První invariant tenzoru rychlosti deformace

$$I_{\Delta} = \text{tr} \vec{\Delta} = \Delta_{ii}$$

## Druhý invariant tenzoru rychlosti deformace

$$II_{\Delta} = \vec{\Delta} : \vec{\Delta} = \Delta_{ij} \Delta_{ji}$$

Alternativní definice

$$II'_{\Delta} = \frac{1}{2} \left[ \left( \text{tr} \vec{\Delta} \right)^2 - \vec{\Delta} : \vec{\Delta} \right]$$

## Třetí invariant tenzoru rychlosti deformace

$$III_{\Delta} = \det \vec{\Delta} = \varepsilon_{ijk} \Delta_{1i} \Delta_{2j} \Delta_{3k}$$

Levi-Civita tenzor třetího řádu

[https://www.wolframalpha.com/input/?i=LeviCivitaTensor\[3\]](https://www.wolframalpha.com/input/?i=LeviCivitaTensor[3])

$$\varepsilon_{ijk} = \frac{1}{2} (i-j)(j-k)(k-i)$$

# Nenewtonské kapaliny

## Zobecněná vazká kapalina

$$\vec{\tau} = 2\eta \vec{\Delta}$$

## Mocninová kapalina

$$\eta = K \left( \sqrt{2 II_{\Delta}} \right)^{n-1}$$

## Binghamská kapalina

$$\eta = \mu_p + \frac{\tau_0}{\sqrt{2 II_{\Delta}}} ; \quad \frac{1}{2} \vec{\tau} : \vec{\tau} > \tau_0^2$$

# Přenos tepla

$$\rho c_p \frac{DT}{Dt} = -\nabla \cdot \vec{q} + \vec{\tau} : \vec{\Delta} + \dot{Q}^{(g)}$$

**Fourier-Kirchhoffova rovnice**  $\lambda = \text{const.}$

$$\rho c_p \frac{DT}{Dt} = \lambda \nabla^2 T + \vec{\tau} : \vec{\Delta} + \dot{Q}^{(g)}$$

$$\rho c_p \left\{ \frac{\partial T}{\partial t} + (\vec{u} \cdot \nabla) T \right\} = \lambda \nabla^2 T + \vec{\tau} : \vec{\Delta} + \dot{Q}^{(g)}$$

**Kartézské souřadnice**

$$\rho c_p \left\{ \frac{\partial T}{\partial t} + u_x \frac{\partial T}{\partial x} + u_y \frac{\partial T}{\partial y} + u_z \frac{\partial T}{\partial z} \right\} = \lambda \left\{ \frac{\partial^2 T}{\partial x^2} + \frac{\partial^2 T}{\partial y^2} + \frac{\partial^2 T}{\partial z^2} \right\} + \tau_{ij} \Delta_{ji} + \dot{Q}^{(g)}$$

**Cylindrické souřadnice**

$$\rho c_p \left\{ \frac{\partial T}{\partial t} + u_r \frac{\partial T}{\partial r} + \frac{u_\varphi}{r} \frac{\partial T}{\partial \varphi} + u_z \frac{\partial T}{\partial z} \right\} = \lambda \left\{ \frac{1}{r} \frac{\partial}{\partial r} \left( r \frac{\partial T}{\partial r} \right) + \frac{1}{r^2} \frac{\partial^2 T}{\partial \varphi^2} + \frac{\partial^2 T}{\partial z^2} \right\} + \tau_{ij} \Delta_{ji} + \dot{Q}^{(g)}$$

**Fourierův zákon**

$$\vec{q} = -\lambda \nabla T$$

**Kartézské souřadnice**

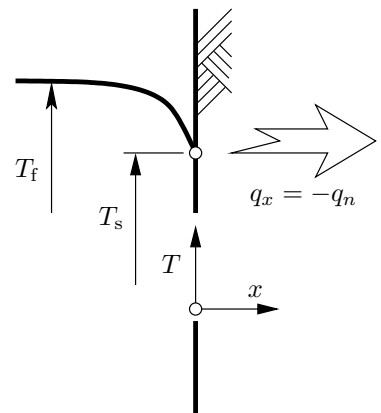
$$\begin{aligned} q_x &= -\lambda \frac{\partial T}{\partial x} \\ q_y &= -\lambda \frac{\partial T}{\partial y} \\ q_z &= -\lambda \frac{\partial T}{\partial z} \end{aligned}$$

**Cylindrické souřadnice**

$$\begin{aligned} q_r &= -\lambda \frac{\partial T}{\partial r} \\ q_\varphi &= -\lambda \frac{1}{r} \frac{\partial T}{\partial \varphi} \\ q_z &= -\lambda \frac{\partial T}{\partial z} \end{aligned}$$

**Newtonova hypotéza**

$$q_n = \vec{q} \cdot \vec{n} = \alpha (T_s - T_f)$$



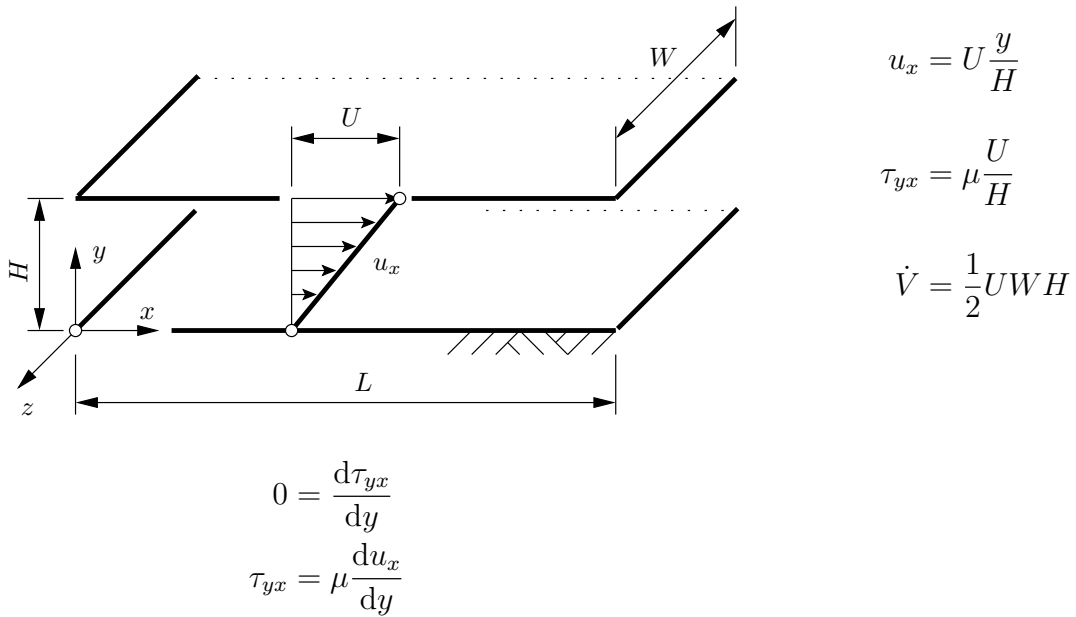
## Stefan-Boltzmannův zákon

$$E_{E,0} = \sigma^{(S)} T^4$$

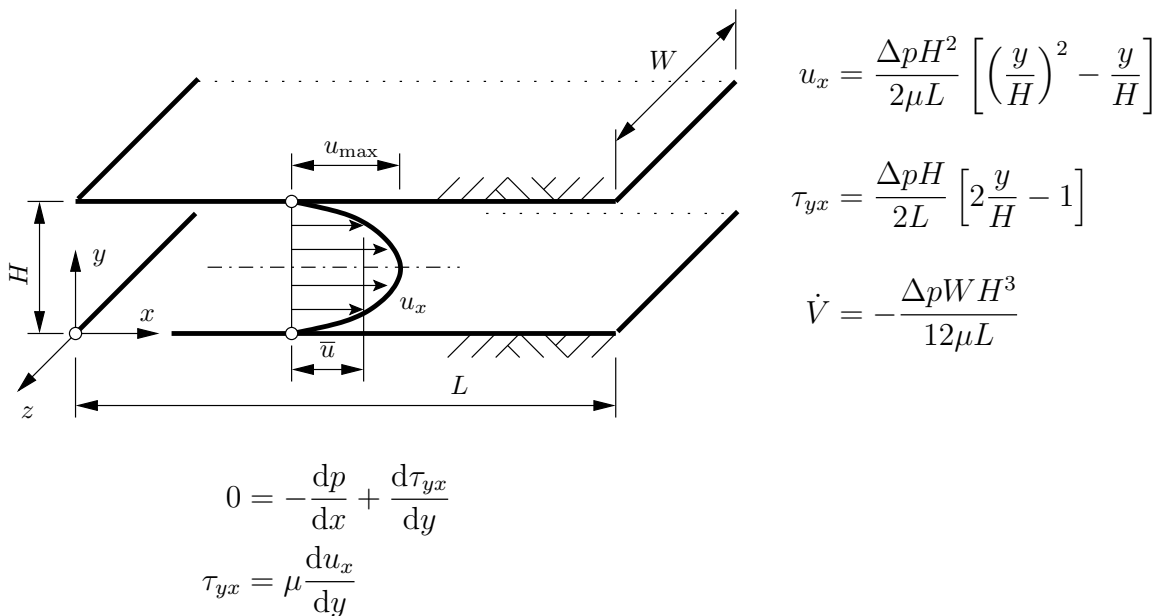
$$\sigma^{(S)} = 5,6705 \cdot 10^{-8} \text{ W m}^{-2} \text{ K}^{-4}$$

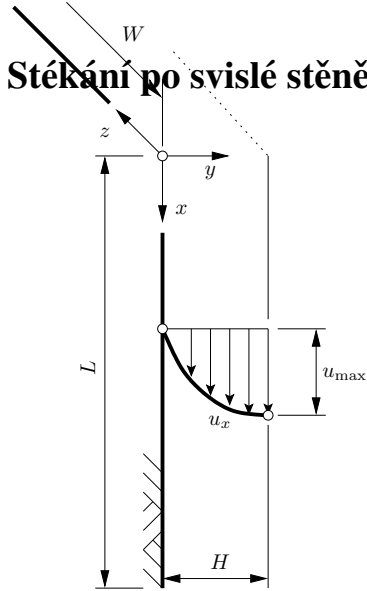
## Přenos hybnosti / Exaktní řešení

Unášivé proudění mezi dvěma deskami;  $u_x|_{y=0} = 0, u_x|_{y=H} = U$



Tlakové proudění mezi dvěma deskami;  $u_x|_{y=0} = 0, u_x|_{y=H} = 0$





$$u_x = \frac{\varrho g H^2}{\mu} \left[ \frac{y}{H} - \frac{1}{2} \left( \frac{y}{H} \right)^2 \right]$$

$$\tau_{yx} = \varrho g H \left[ 1 - \frac{y}{H} \right]$$

$$\dot{V} = \frac{\varrho g W H^3}{3\mu}$$

$$0 = \frac{d\tau_{yx}}{dy} + \varrho g$$

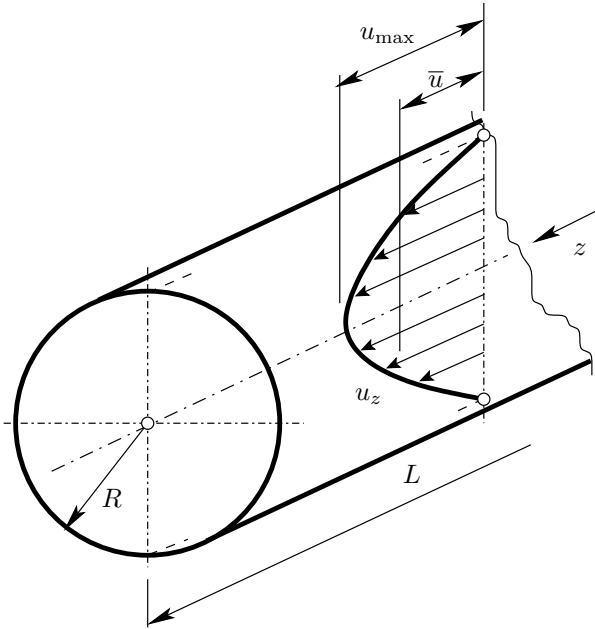
$$\tau_{yx} = \mu \frac{du_x}{dy}$$

**Režim toku**

$$Re = \frac{4(\dot{V}/W)\varrho}{\mu} = \frac{4\bar{u}H\varrho}{\mu}$$

$Re < 25$	laminární oblast proudění
$25 < Re < 1000$	pseudolaminární oblast proudění (v jádru laminární, na povrchu zvlnění a víry)
$1000 < Re < 1500$	přechodová oblast proudění
$1500 < Re$	turbulentní oblast proudění

**Tlakové axiální proudění v trubce;  $u_z|_{r=R} = 0$ ,  $du_z/dr|_{r=0} = 0$**



$$u_z = -\frac{\Delta p R^2}{4\mu L} \left[ 1 - \left( \frac{r}{R} \right)^2 \right] = 2\bar{u} \left[ 1 - \left( \frac{r}{R} \right)^2 \right]$$

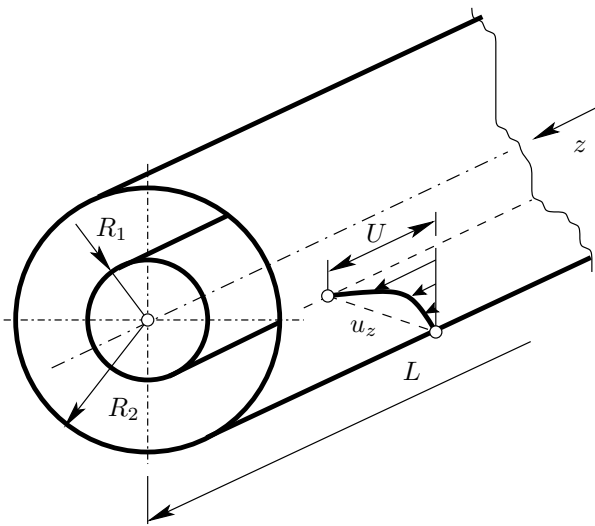
$$\tau_{rz} = \frac{\Delta p r}{2L}$$

$$\dot{V} = -\frac{\pi \Delta p R^4}{8\mu L}$$

$$0 = -\frac{\Delta p}{L} + \frac{1}{r} \frac{d(r\tau_{rz})}{dr}$$

$$\tau_{rz} = \mu \frac{du_z}{dr}$$

**Unášivé axiální proudění v mezikruží;  $u_z|_{r=R_1} = U, u_z|_{r=R_2} = 0$**



$$u_z = \frac{U}{\ln \kappa} \ln \frac{r}{R_2}; \quad \kappa = \frac{R_1}{R_2}$$

$$\tau_{rz} = \frac{\mu U}{\ln \kappa} \frac{1}{r}$$

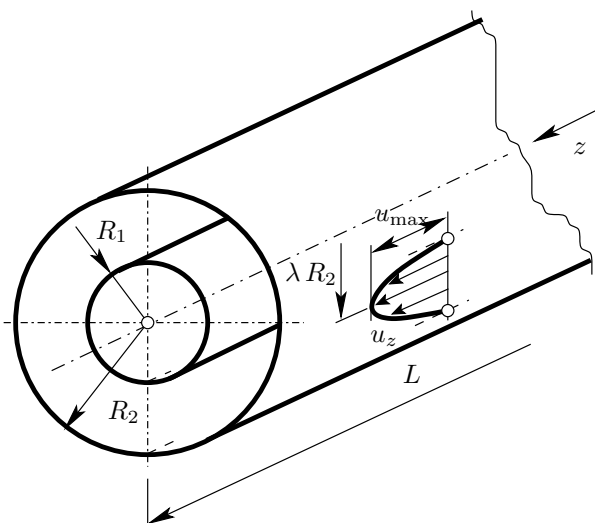
$$\dot{V} = -\frac{\pi R_2^2 U}{2 \ln \kappa} [1 - \kappa^2 + 2\kappa^2 \ln \kappa]$$

$$\dot{V} = \frac{\pi R_2^2 U}{2} \left[ \frac{1 - \kappa^2}{\ln(1/\kappa)} - 2\kappa^2 \right]$$

$$0 = \frac{1}{r} \frac{d}{dr} (r \tau_{rz})$$

$$\tau_{rz} = \mu \frac{du_z}{dr}$$

**Tlakové axiální proudění v mezikruží;  $u_z|_{r=R_1} = 0, u_z|_{r=R_2} = 0$**



$$u_z = -\frac{\Delta p R_2^2}{4\mu L} \left[ 1 - \left( \frac{r}{R_2} \right)^2 + \frac{1 - \kappa^2}{\ln(1/\kappa)} \ln \frac{r}{R_2} \right]$$

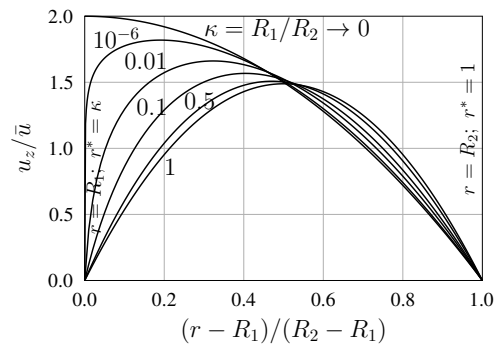
$$\kappa = \frac{R_1}{R_2}$$

$$\tau_{rz} = \frac{\Delta p R_2}{2L} \left[ \frac{r}{R_2} - \lambda^2 \frac{R_2}{r} \right]; \quad \lambda^2 = \frac{1}{2} \frac{1 - \kappa^2}{\ln(1/\kappa)}$$

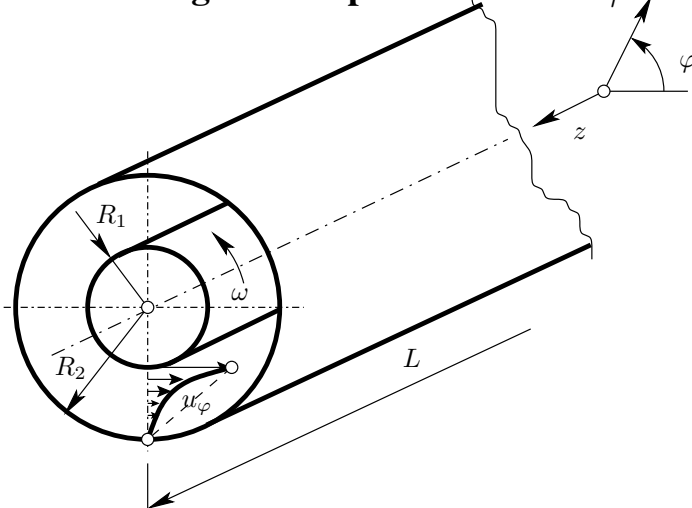
$$\dot{V} = -\frac{\pi \Delta p R_2^2}{8\mu L} \left[ 1 - \kappa^4 - \frac{(1 - \kappa^2)^2}{\ln(1/\kappa)} \right]$$

$$0 = -\frac{\Delta p}{L} + \frac{1}{r} \frac{d(r \tau_{rz})}{dr}$$

$$\tau_{rz} = \mu \frac{du_z}{dr}$$



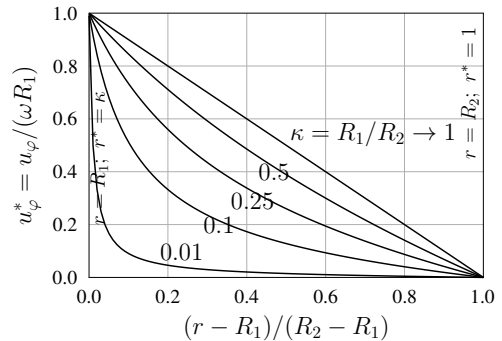
**Unášivé tangenciální proudění v mezikruží;  $u_\varphi|_{r=R_1} = \omega R_1$ ,  $u_\varphi|_{r=R_2} = 0$**



$$u_\varphi = \omega R_1 \frac{\kappa}{1 - \kappa^2} \left[ \frac{R_2}{r} - \frac{r}{R_2} \right]; \quad \kappa = \frac{R_1}{R_2}$$

$$\tau_{r\varphi} = -2\mu\omega \frac{\kappa^2}{1 - \kappa^2} \left( \frac{R_2}{r} \right)^2$$

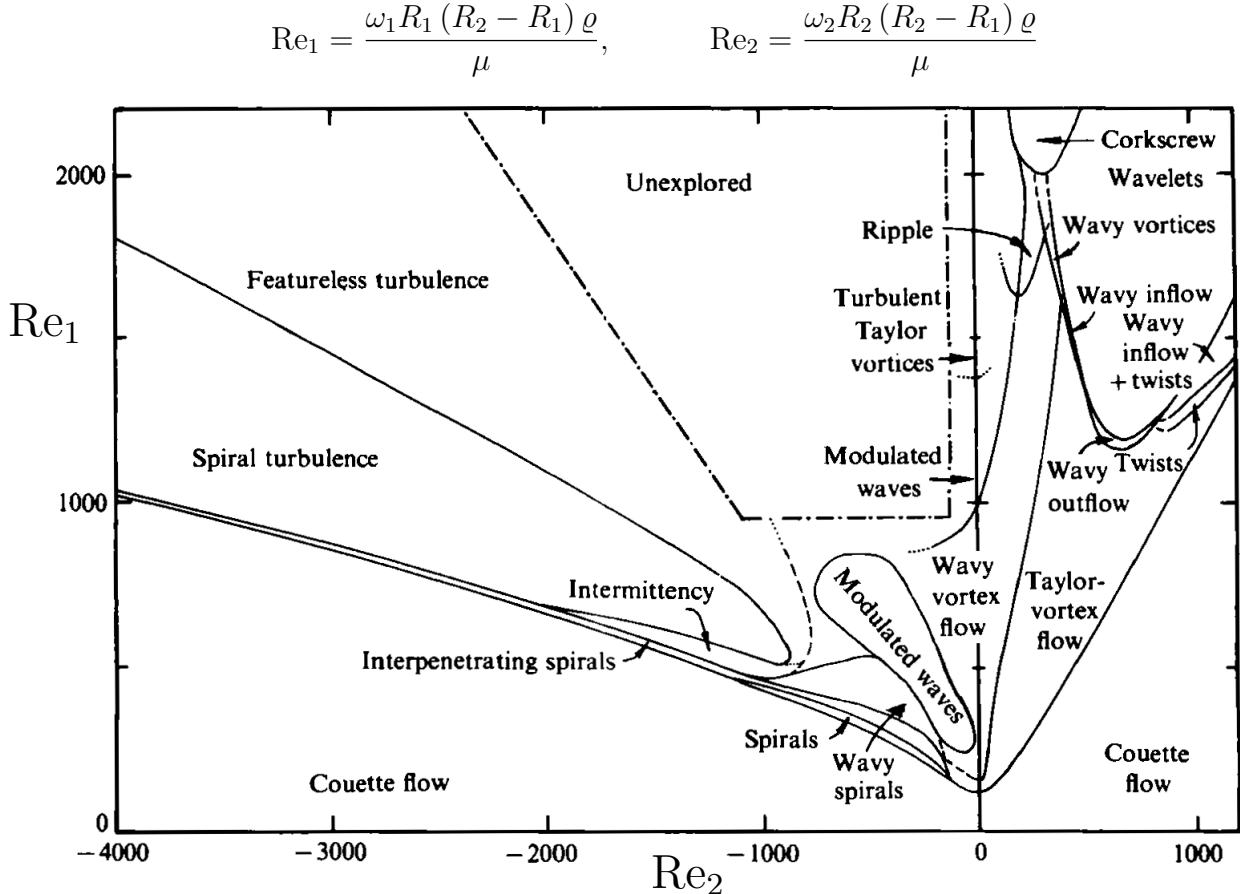
$$M_k = \frac{4\pi\mu\omega R_1^2 L}{1 - \kappa^2}$$



### Režim toku

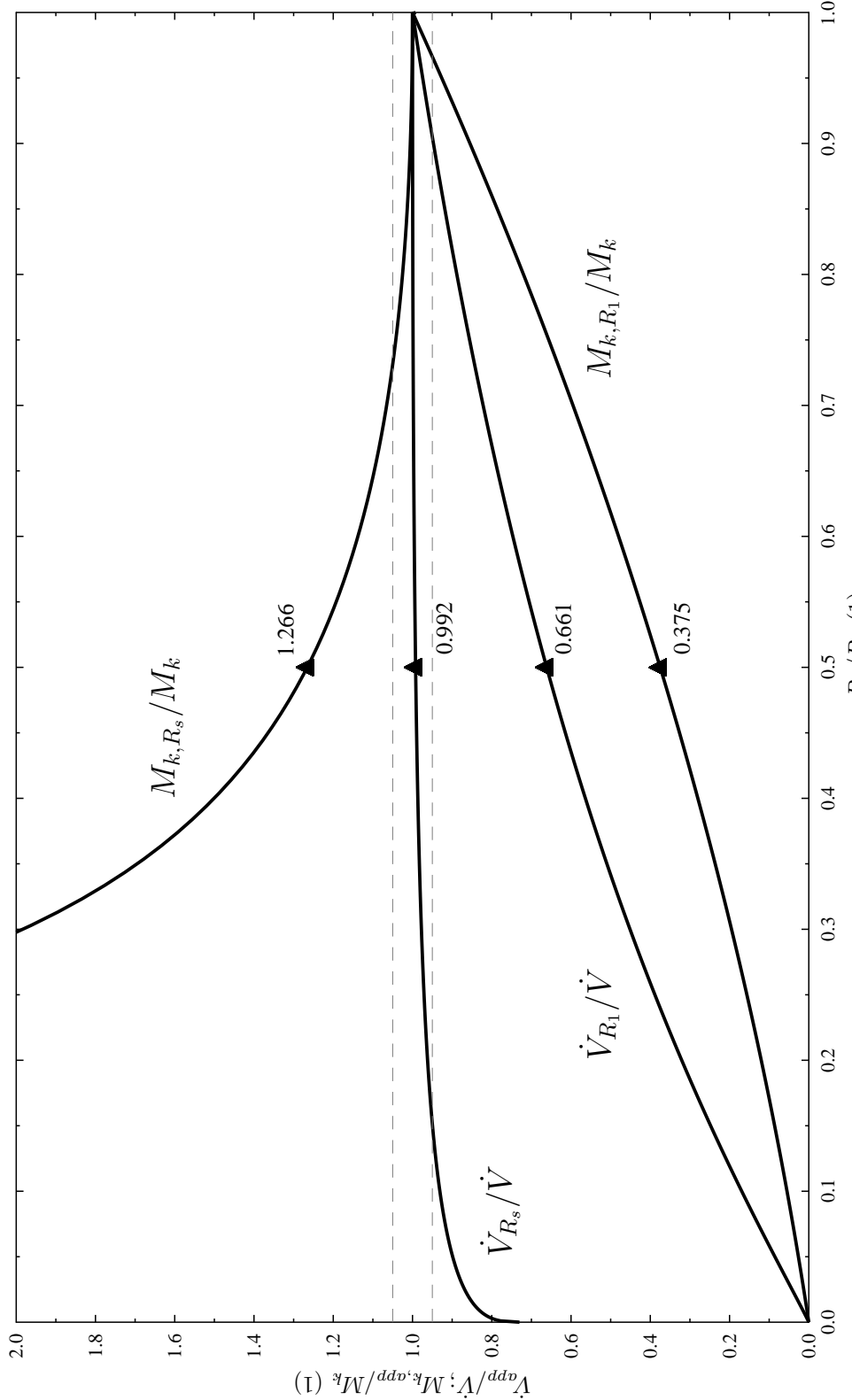
$$0 = \frac{1}{r^2} \frac{d}{dr} (r^2 \tau_{r\varphi})$$

$$\tau_{r\varphi} = \mu r \frac{d}{dr} \left( \frac{u_\varphi}{r} \right)$$



Grafické znázornění tokových režimů pozorovaných ve štěrbině mezi dvěma nezávisle rotujícími válci. Čárkování čáry vyznačují hranice přechodu, které lze obtížně získat z vizuálního pozorování. Tečkování čáry vyznačují očekávané hranice přechodu. (Andredeck, C. D., Liu, S. S., Swinney, H. L., Flow regimes in a circular Couette system with independently rotating cylinders, J. Fluid. Mech., 164 (1986), pp. 155–183.)

## Aproximativní řešení/Přesnost



$$\frac{M_{k,R_1}}{M_k} = \frac{\mu \frac{\omega R_1}{R_2 - R_1} 2\pi R_1^2 L}{\frac{4\pi \mu \omega R_1^2 L}{1 - \kappa^2}} = \frac{\frac{R_1}{R_2 - R_1}}{\frac{2}{1 - \kappa^2}} = \frac{1}{2} \kappa (1 + \kappa)$$

$$\frac{M_{k,R_s}}{M_k} = \frac{\mu \frac{\omega R_s}{R_2 - R_1} 2\pi R_s^2 L}{\frac{4\pi \mu \omega R_1^2 L}{1 - \kappa^2}} = \frac{\frac{R_s^3}{R_2 - R_1}}{\frac{2R_s^2}{1 - \kappa^2}} = \frac{(1 + \kappa)^4}{16 \kappa^2}$$

Grafické znázornění podílů integrálních veličin přibližného (aproximativního) a přesného řešení pro případ tlakového axiálního proudění v mezikruží ( $\dot{V}$ ) a tangenciálního proudění v mezikruží s rotujícím vnitřním válcem ( $M_k$ ) v závislosti na poměru poloměrů mezikruží. Aproximativní řešení (rozvinutí do roviny) je provedeno vždy pro dva případy a to pro případ rozvinutí dle vnitřního poloměru  $R_1$  a dle středního poloměru  $R_s = (R_1 + R_2)/2$  (viz indexy).

## Tlakové axiální proudění mocninové kapaliny v trubce

$$0 = -\frac{\Delta p}{L} + \frac{1}{r} \frac{d(r\tau_{rz})}{dr}$$

$$\tau_{rz} = K \left| \frac{du_z}{dr} \right|^{n-1} \frac{du_z}{dr}$$

$$u_z|_{r=R} = 0; \frac{du_z}{dr}|_{r=0} = 0 \quad (\tau_{rz}|_{r=0} = 0)$$

Integrací pohybové rovnice a aplikací druhé okrajové podmínky dostaneme

$$\tau_{rz} = \frac{\Delta p r}{2L}.$$

Doplníme konstitutivní rovnicí.

$$\tau_{rz} = \frac{\Delta p r}{2L} = K \left| \frac{du_z}{dr} \right|^{n-1} \frac{du_z}{dr}$$

Budeme-li uvažovat kladnou hodnotu  $\Delta p$ , pak bude i kladná hodnota derivace  $du_z/dr$ . Po odstranění absolutní hodnoty pak můžeme integrovat (s použitím druhé okrajové podmínky).

$$\frac{\Delta p r}{2L} = K \left( \frac{du_z}{dr} \right)^n; \Delta p > 0; 0 \leq r \leq R$$

$$\left( \frac{\Delta p r}{2KL} \right)^{1/n} = \frac{du_z}{dr}$$

$$\int_R^r \left( \frac{\Delta p r}{2KL} \right)^{1/n} dr = \int_0^{u_z} du_z$$

$$u_z = \frac{n}{n+1} \left( \frac{\Delta p}{2KL} \right)^{1/n} R^{\frac{n+1}{n}} \left[ \left( \frac{r}{R} \right)^{\frac{n+1}{n}} - 1 \right]$$

Objemový průtok spočteme integrací.

$$\dot{V} = 2\pi \int_0^R r u_z dr = \left| \begin{array}{l} r^* = r/R \\ dr^* = dr/R \end{array} \right| = 2\pi R^2 \int_0^1 r^* u_z dr^* =$$

$$= 2\pi R^2 \frac{n}{n+1} \left( \frac{\Delta p}{2KL} \right)^{1/n} R^{\frac{n+1}{n}} \int_0^1 r^* \left[ r^{*\frac{n+1}{n}} - 1 \right] dr^* =$$

$$= -\pi R^2 \frac{n}{3n+1} \left( \frac{\Delta p}{2KL} \right)^{1/n} R^{\frac{n+1}{n}}$$

Střední objemová rychlosť.

$$\bar{u} = \frac{\dot{V}}{\pi R^2} = -\frac{n}{3n+1} \left( \frac{\Delta p}{2KL} \right)^{1/n} R^{\frac{n+1}{n}}$$

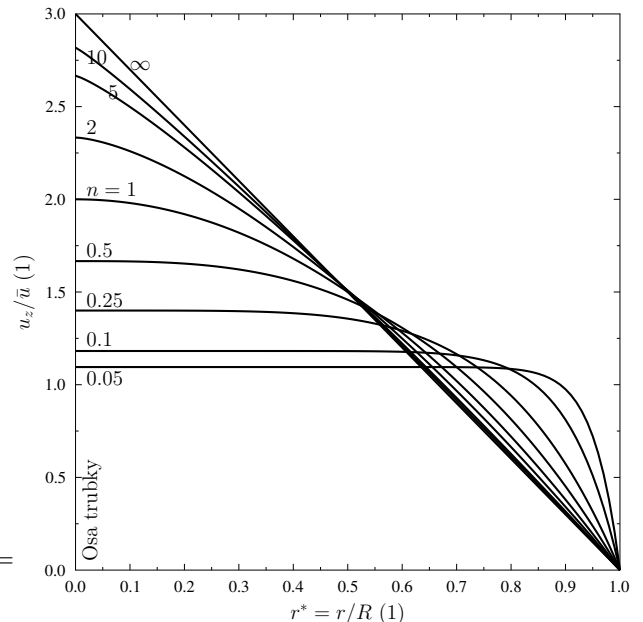
Bezrozměrná rychlosť vztažená na střední objemovou rychlosť, tj. pro konstantní objemový průtok.

$$u_z^* = \frac{u_z}{\bar{u}} = \frac{3n+1}{n+1} \left[ 1 - \left( \frac{r}{R} \right)^{\frac{n+1}{n}} \right]$$

Ze vztahu vyjadřujícího radiální profil axiální rychlosti proudění kapaliny v kanále vidíme, že pro kladnou hodnotu tlakové diference  $\Delta p > 0$  nabývá rychlostní profil záporných hodnot a tudíž kapalina teče proti směru osy  $z$ . To je samozřejmě důsledkem toho, že na konci kanálu je větší tlak než na začátku kanálu. V případě, že by kapalina měla téci ve směru osy  $z$ , musela by tlaková differenč nabývat záporných hodnot, tj.  $\Delta p < 0$ . V tomto případě by měl rychlostní profil kladné znaménko. Problémem výpočtu rychlosti z odvozeného vztahu je však fakt, že obecná mocnina záporného čísla není definována. V tomto případě však můžeme vztah jednoduše upravit do tvaru, který umožňuje výpočet i pro záporné hodnoty tlakové diference.

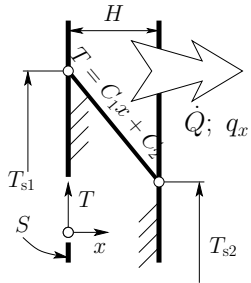
$$u_z = \frac{n}{n+1} \left| \frac{\Delta p}{2KL} \right|^{1/n} R^{\frac{n+1}{n}} \left[ \left( \frac{r}{R} \right)^{\frac{n+1}{n}} - 1 \right] \text{sig}(\Delta p)$$

Operace  $\text{sig}(\Delta p)$  vyjadřuje pouze znaménko tlakové diference. Tento trik je možné použít samozřejmě i v ostatních případech a to zejména v okamžiku, kdy nechceme definovat zobecněnou obecnou mocninu reálného čísla jako novou matematickou operaci.



# Přenos tepla/Exaktní řešení

## Vedení tepla v rovinné stěně



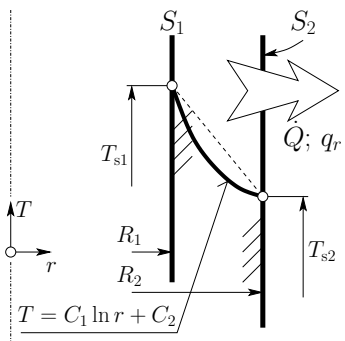
$$T = - (T_{s1} - T_{s2}) \frac{x}{H} + T_{s1}$$

$$q_x = \frac{\lambda}{H} (T_{s1} - T_{s2})$$

$$\dot{Q} = \frac{\lambda}{H} S (T_{s1} - T_{s2})$$

$$0 = \frac{d^2 T}{dx^2}$$

## Vedení tepla ve válcové stěně



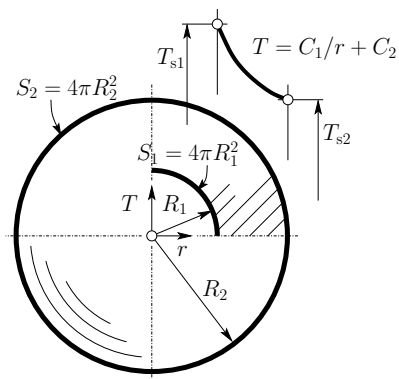
$$\frac{T - T_{s2}}{T_{s1} - T_{s2}} = \frac{\ln r/R_2}{\ln R_1/R_2}$$

$$q_r = \frac{\lambda}{\ln R_2/R_1} (T_{s1} - T_{s2}) \frac{1}{r}$$

$$\dot{Q} = \frac{2\pi L \lambda}{\ln R_2/R_1} (T_{s1} - T_{s2})$$

$$0 = \frac{1}{r} \frac{d}{dr} \left( r \frac{dT}{dr} \right)$$

## Vedení tepla v kulové stěně



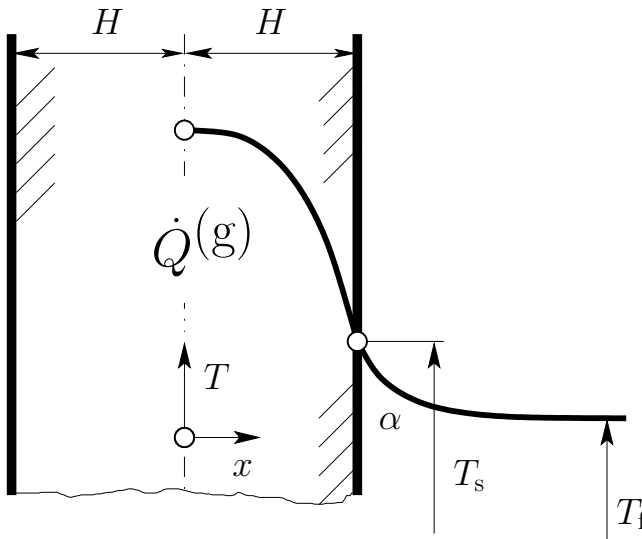
$$\frac{T - T_{s2}}{T_{s1} - T_{s2}} = \frac{1/R_2}{\frac{1}{R_1} - \frac{1}{R_2}} \left( 1 - \frac{R_2}{r} \right)$$

$$q_r = \frac{\lambda}{\frac{1}{R_1} - \frac{1}{R_2}} (T_{s1} - T_{s2}) \frac{1}{r^2}$$

$$\dot{Q} = \frac{4\pi \lambda}{\frac{1}{R_1} - \frac{1}{R_2}} (T_{s1} - T_{s2})$$

$$0 = \frac{1}{r^2} \frac{d}{dr} \left( r^2 \frac{dT}{dr} \right)$$

## Vedení tepla v rovinné stěně s objemovým zdrojem tepla



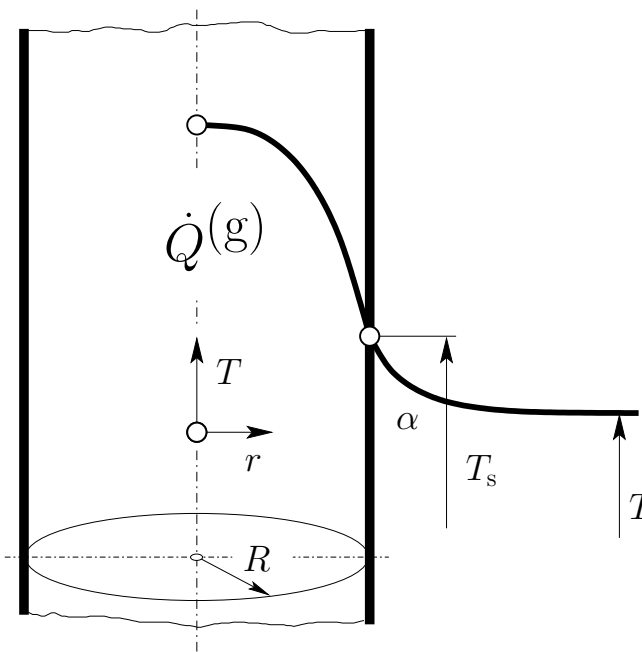
$$T - T_f = \frac{\dot{Q}^{(g)}}{2\lambda} H^2 \left[ 1 + \frac{4}{Bi} - \left( \frac{x}{H} \right)^2 \right]$$

$$Bi = \frac{2\alpha H}{\lambda}$$

$$\left[ \dot{Q}^{(g)} \right] = W m^{-3}$$

$$0 = \lambda \frac{d^2 T}{dx^2} + \dot{Q}^{(g)}$$

## Vedení tepla ve válcové stěně s objemovým zdrojem tepla



$$T - T_f = \frac{\dot{Q}^{(g)}}{4\lambda} R^2 \left[ 1 + \frac{4}{Bi} - \left( \frac{r}{R} \right)^2 \right]$$

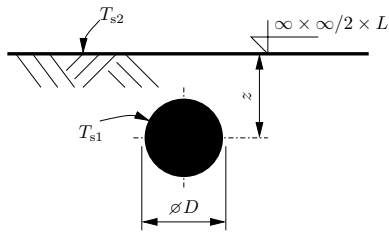
$$Bi = \frac{2\alpha R}{\lambda}$$

$$\left[ \dot{Q}^{(g)} \right] = W m^{-3}$$

$$0 = \lambda \frac{1}{r} \frac{d}{dr} \left( r \frac{dT}{dr} \right) + \dot{Q}^{(g)}$$

## Dvourozměrné vedení tepla a tvarový součinitel

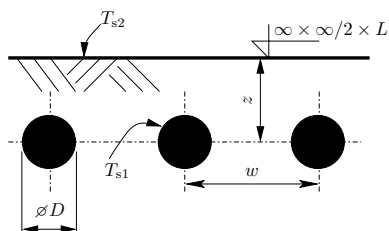
$$\dot{Q} = \lambda S_T (T_{s1} - T_{s2})$$



$$S_T = \frac{2\pi L}{\cosh^{-1} \frac{2z}{D}}$$

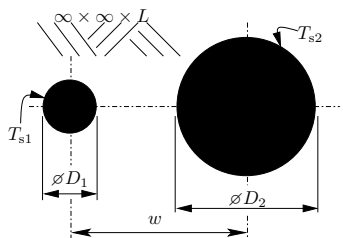
$$L \gg D$$

Vše z [Incropera, F. P., DeWitt, D. P., Bergman, T. L., Lavine, A. S.: Fundamentals of Heat and Mass Transfer, 6th Edition, John Wiley & Sons, Inc. (2007)] s výjimkou ...



$$S_T = \frac{2\pi L}{\ln \left[ \frac{2w}{\pi D} \sinh \left( 2\pi \frac{z}{w} \right) \right]}$$

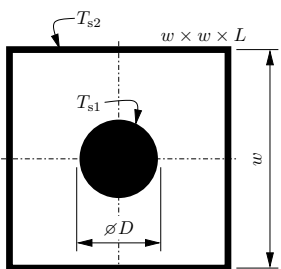
[Šesták, J., Rieger, F.: Přenos hybnosti, tepla a hmoty, Vydavatelství ČVUT, Praha (1998)]



$$S_T = \frac{2\pi L}{\cosh^{-1} \left( \frac{4w^2 - D_1^2 - D_2^2}{2D_1D_2} \right)}$$

$$L \gg D_1, D_2$$

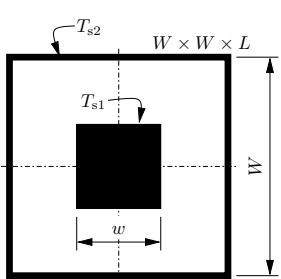
$$L \gg w$$



$$S_T = \frac{2\pi L}{\ln \frac{1,08w}{D}}$$

$$L \gg w$$

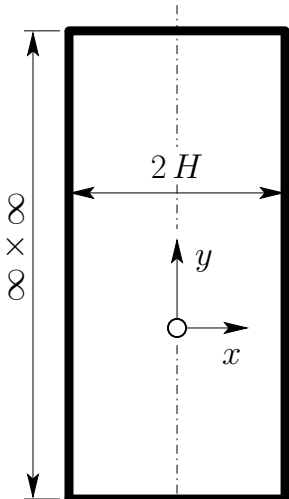
$$w > D$$



$$S_T = \frac{2\pi L}{0,785 \ln \frac{W}{w}}; \quad W/w < 1,4; \quad L \gg w$$

$$S_T = \frac{2\pi L}{0,930 \ln \frac{W}{w} - 0,05}; \quad W/w > 1,4; \quad L \gg w$$

## Nestacionární vedení tepla v neomezené desce



$$T^* = \frac{T - T_f}{T_0 - T_f}$$

$$x^* = \frac{x}{H}$$

$$t^* = \frac{at}{H^2}$$

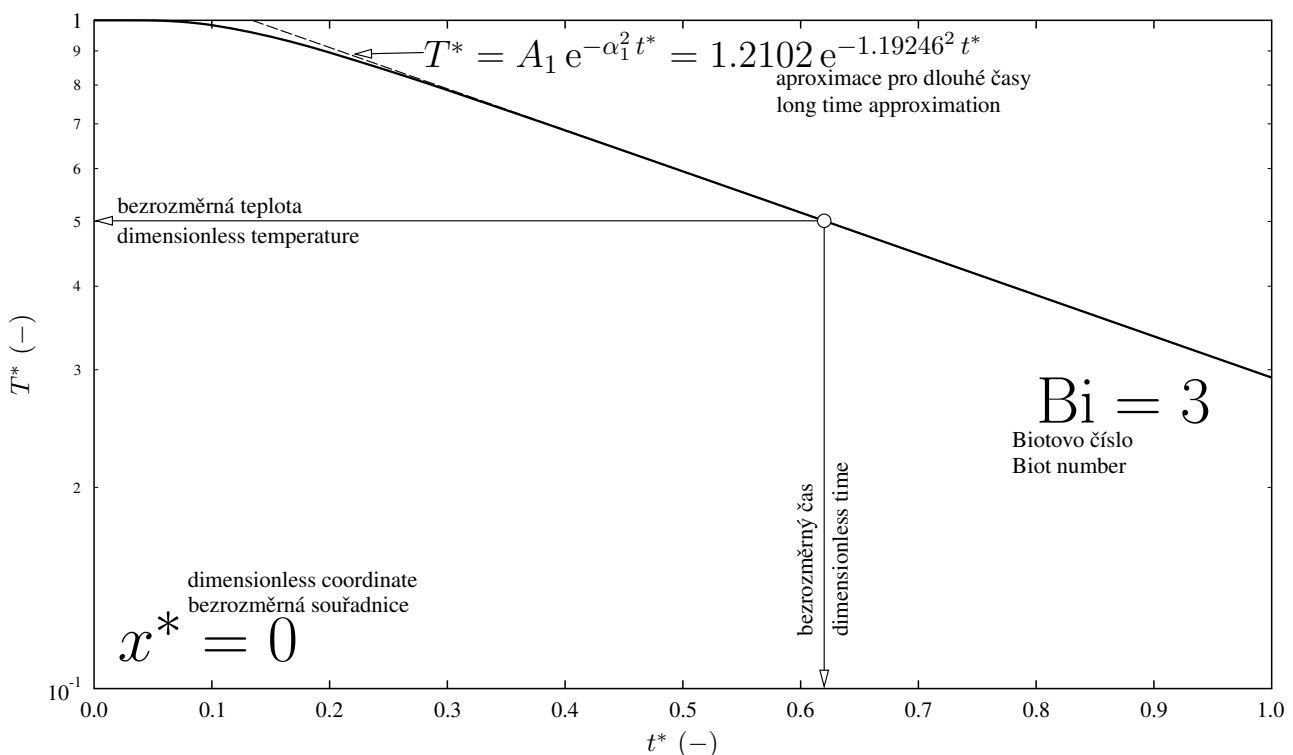
$$\text{Bi} = \frac{\alpha H}{\lambda}$$

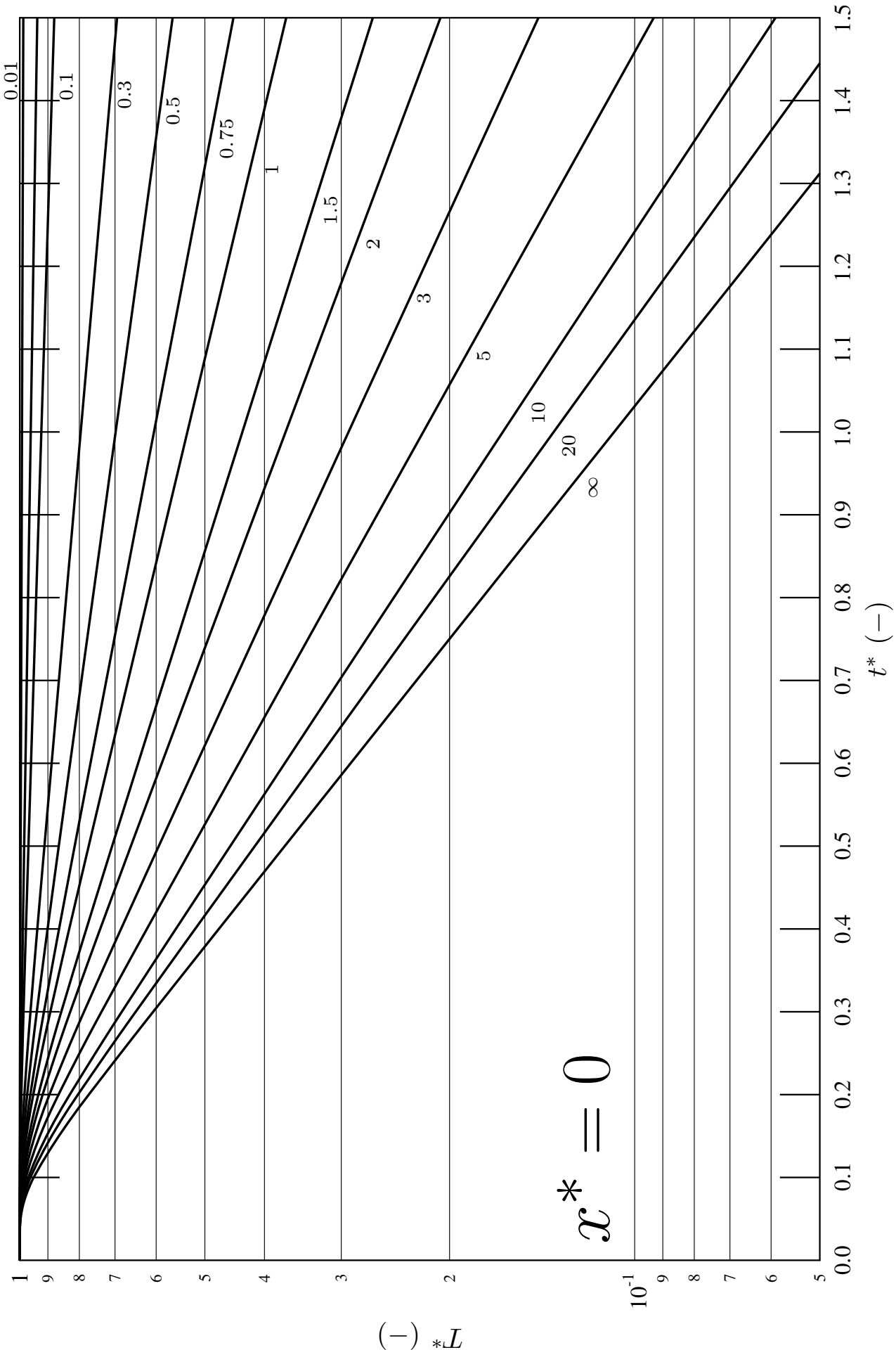
$$T^* = \sum_{j=1}^{\infty} \underbrace{\frac{2 \sin \alpha_j}{\alpha_j + \sin \alpha_j \cos \alpha_j}}_{A_n} \cos(\alpha_j x^*) \exp(-\alpha_j^2 t^*)$$

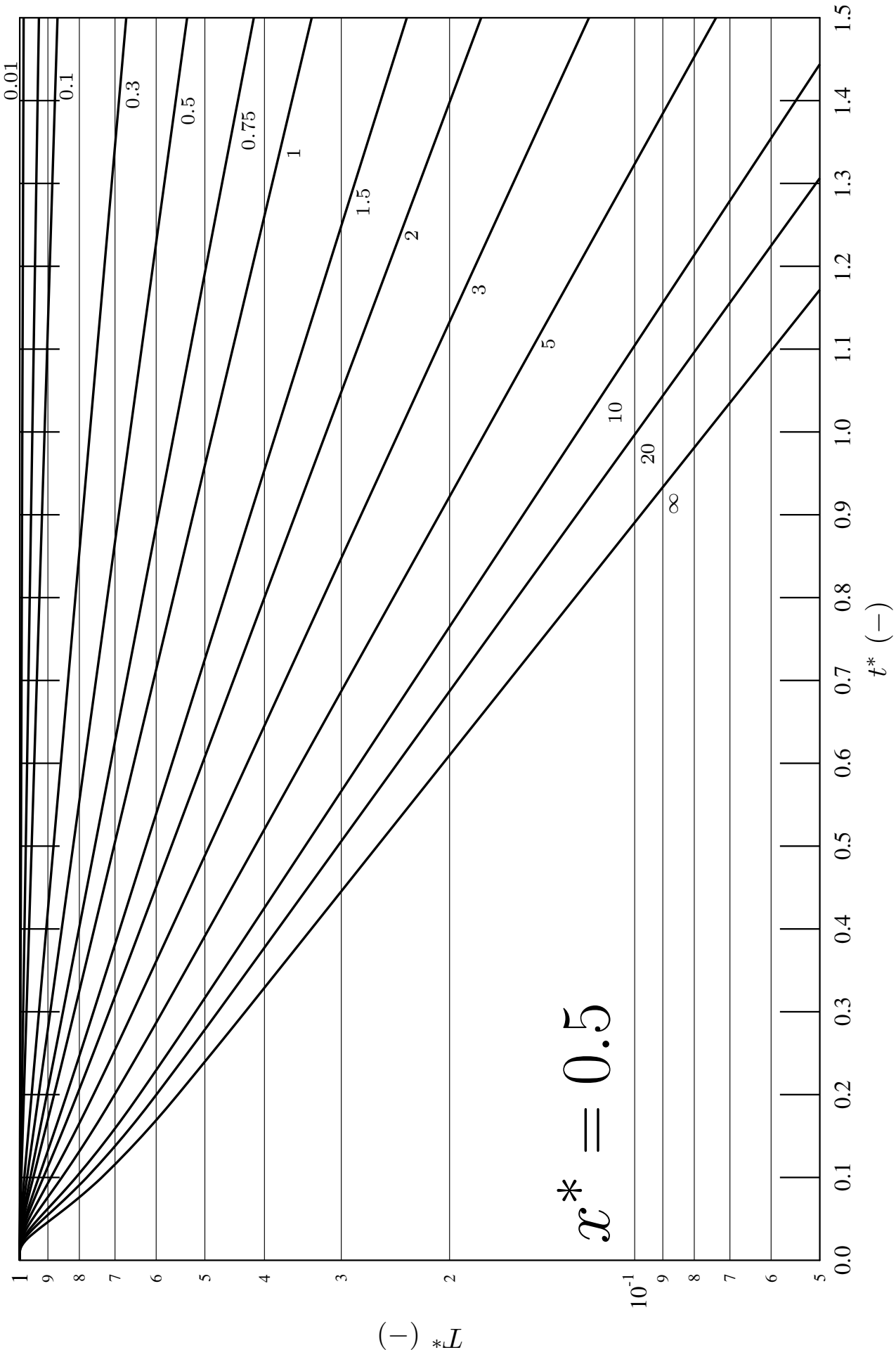
Vlastní číslo (eigenvalue)  $\alpha_j$  je řešením rovnice

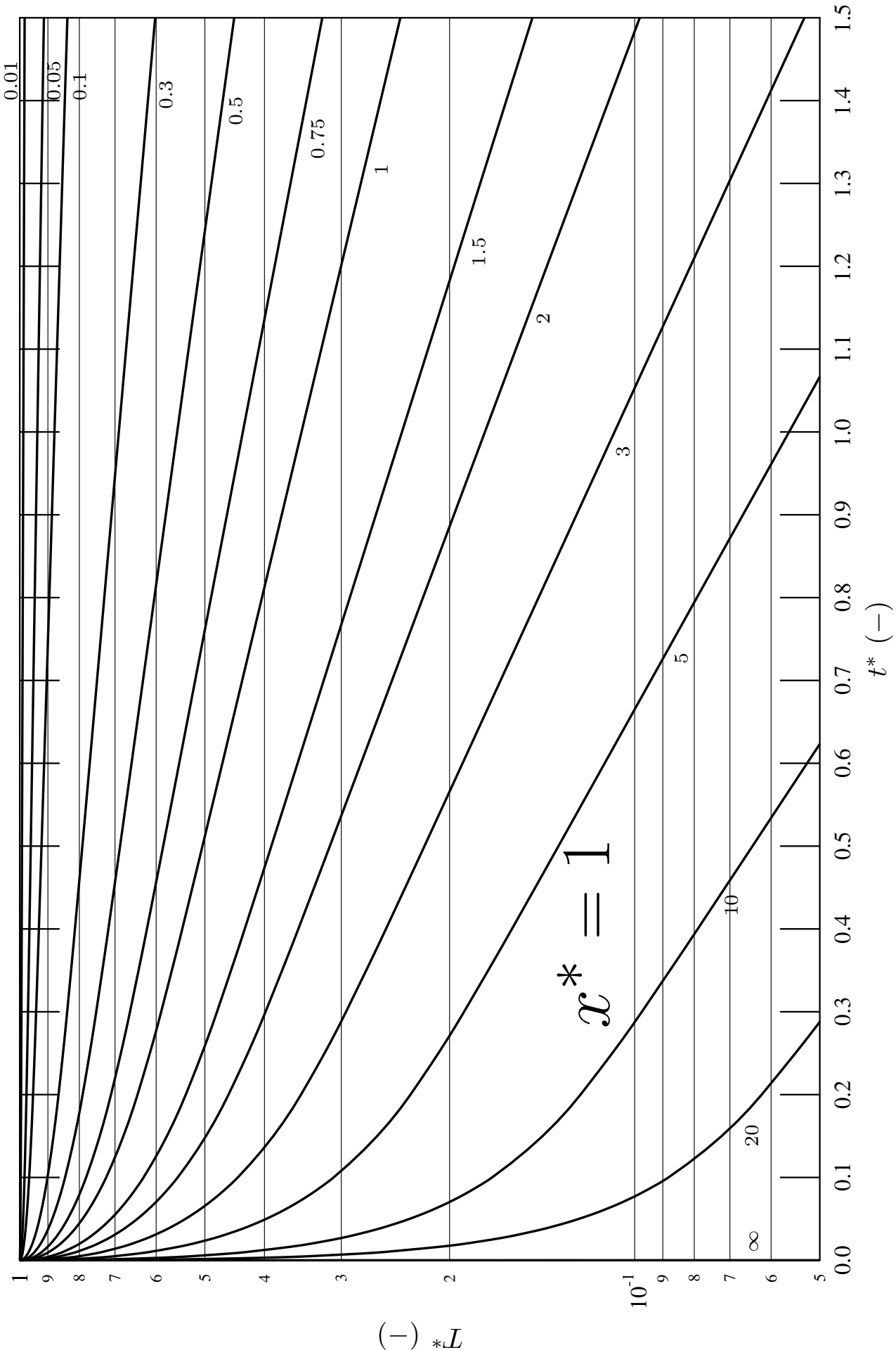
$$0 = \alpha_j - \text{Bi} \cotan \alpha_j$$

Princip odečítání z grafické závislosti bezrozměrné teploty na bezrozměrném čase pro neomezenou desku, neomezený válec a kouli a řešení pro dlouhé časy

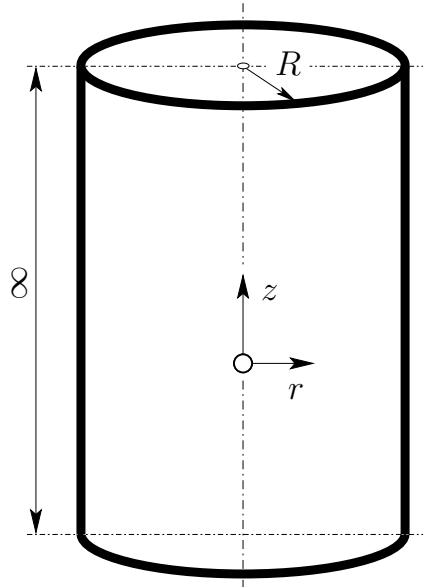








## Nestacionární vedení tepla v neomezeném válci



$$T^* = \frac{T - T_f}{T_0 - T_f}$$

$$r^* = \frac{r}{R}$$

$$t^* = \frac{at}{R^2}$$

$$\text{Bi} = \frac{\alpha R}{\lambda}$$

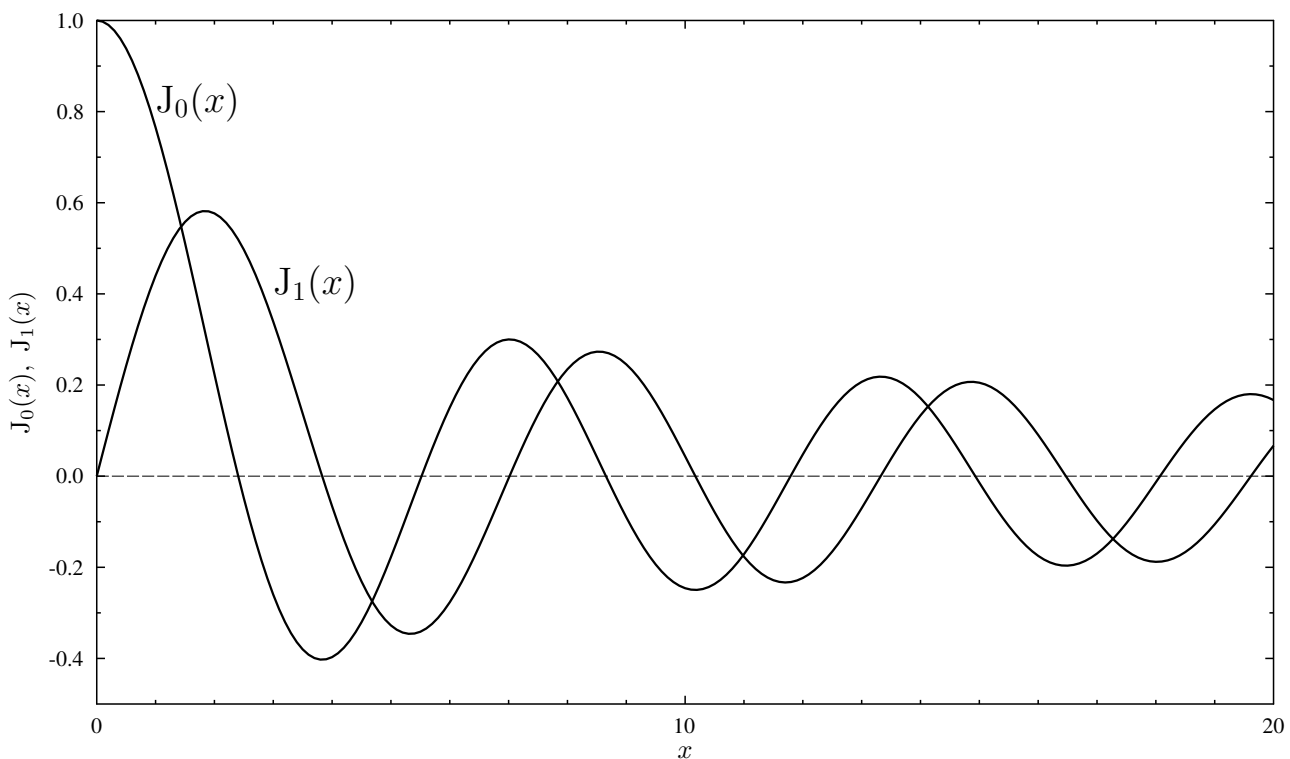
$$T^* = \sum_{j=1}^{\infty} \underbrace{\frac{2}{\alpha_j J_1(\alpha_j) [(\alpha_j/\text{Bi})^2 + 1]}}_{A_n} J_0(\alpha_j r^*) \exp(-\alpha_j^2 t^*)$$

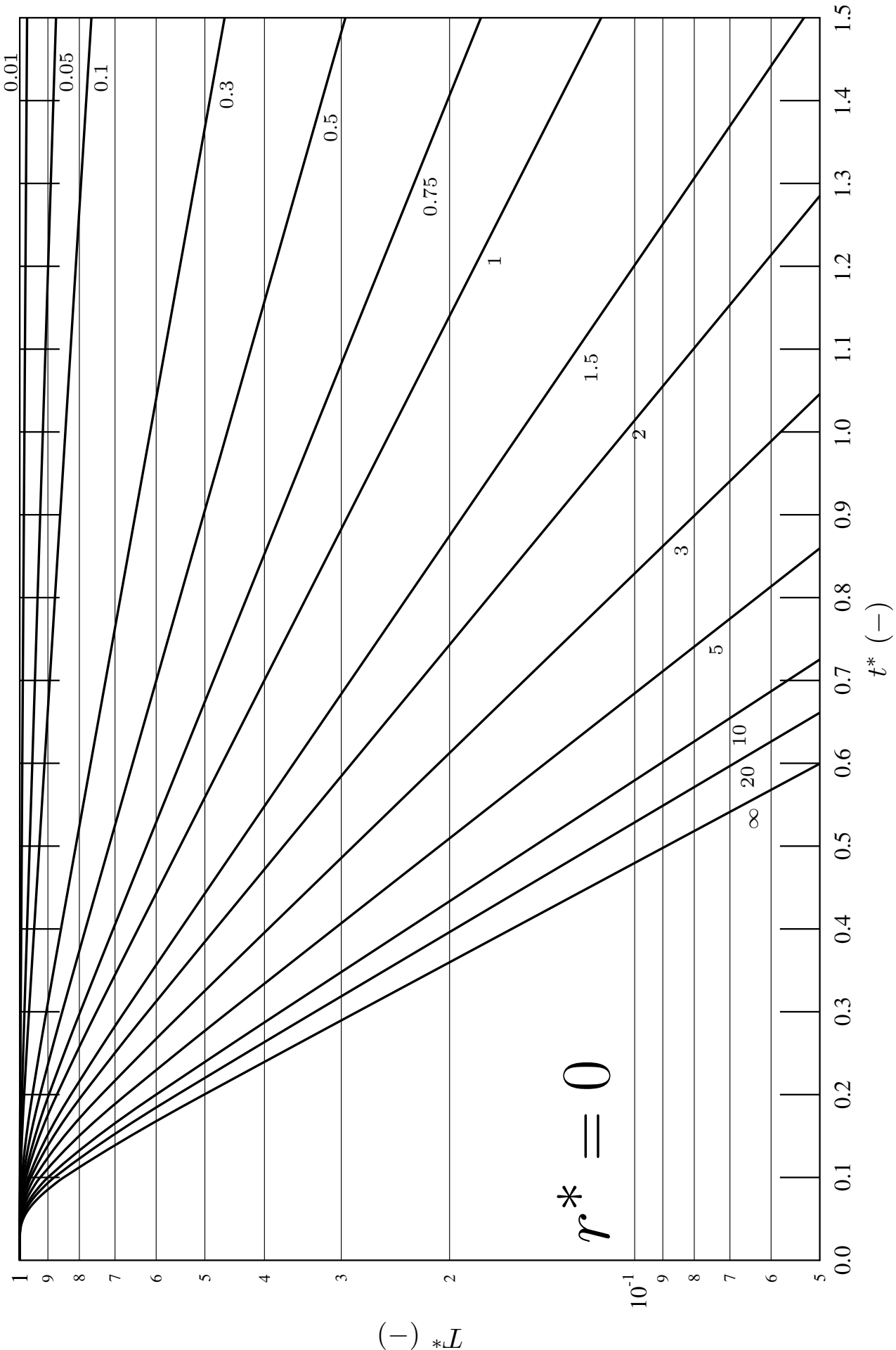
$$\frac{\partial T}{\partial t} = a \frac{1}{r} \frac{d}{dr} \left( r \frac{dT}{dr} \right)$$

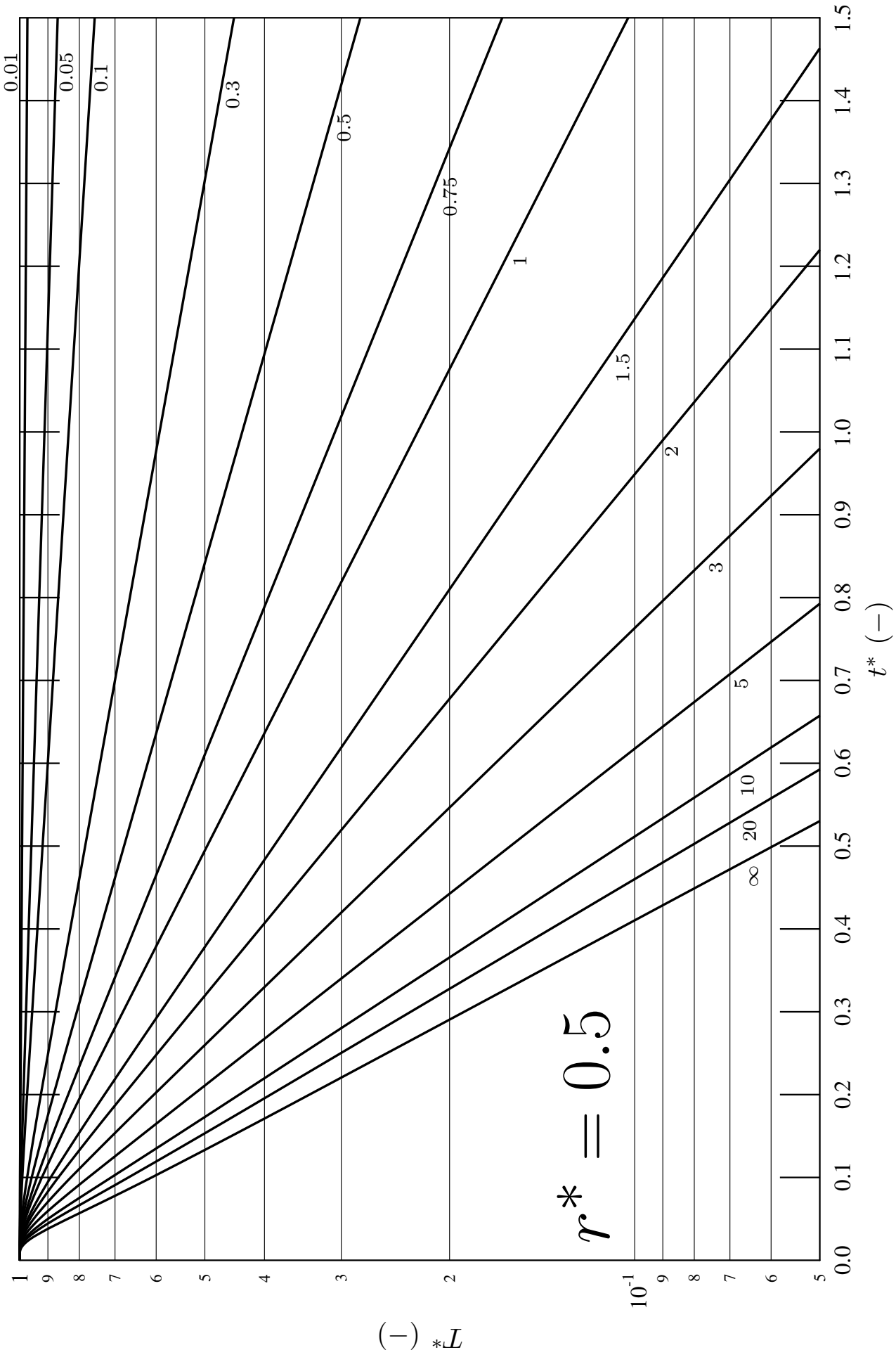
Vlastní číslo (eigenvalue)  $\alpha_j$  je řešením rovnice

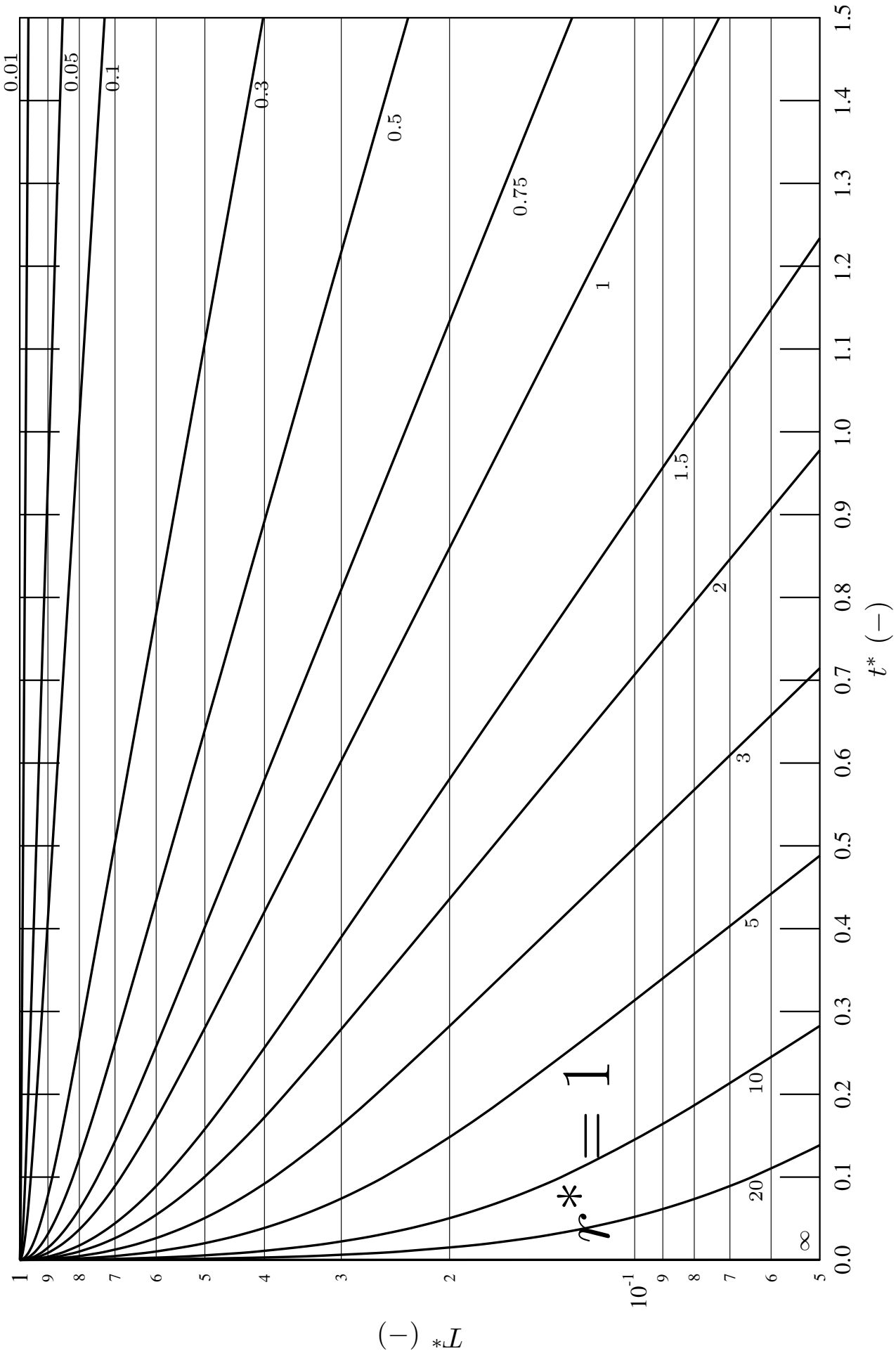
$$0 = \alpha J_1(\alpha_j) - \text{Bi} J_0(\alpha_j)$$

Besselova funkce prvního druhu nultého a prvního řádu

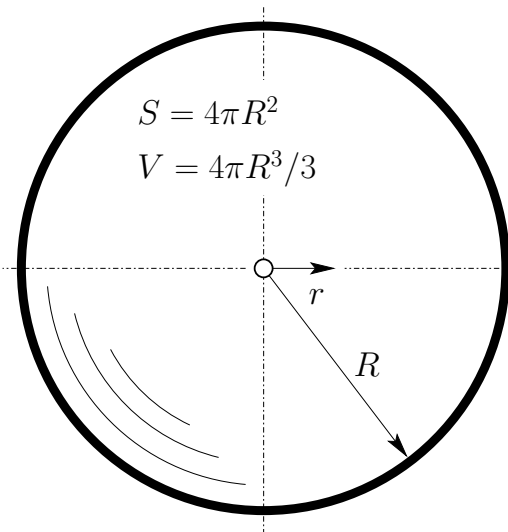








## Nestacionární vedení tepla v kouli



$$\frac{\partial T}{\partial t} = a \frac{1}{r^2} \frac{d}{dr} \left( r^2 \frac{dT}{dr} \right)$$

$$T^* = \frac{T - T_f}{T_0 - T_f}$$

$$r^* = \frac{r}{R}$$

$$t^* = \frac{at}{R^2}$$

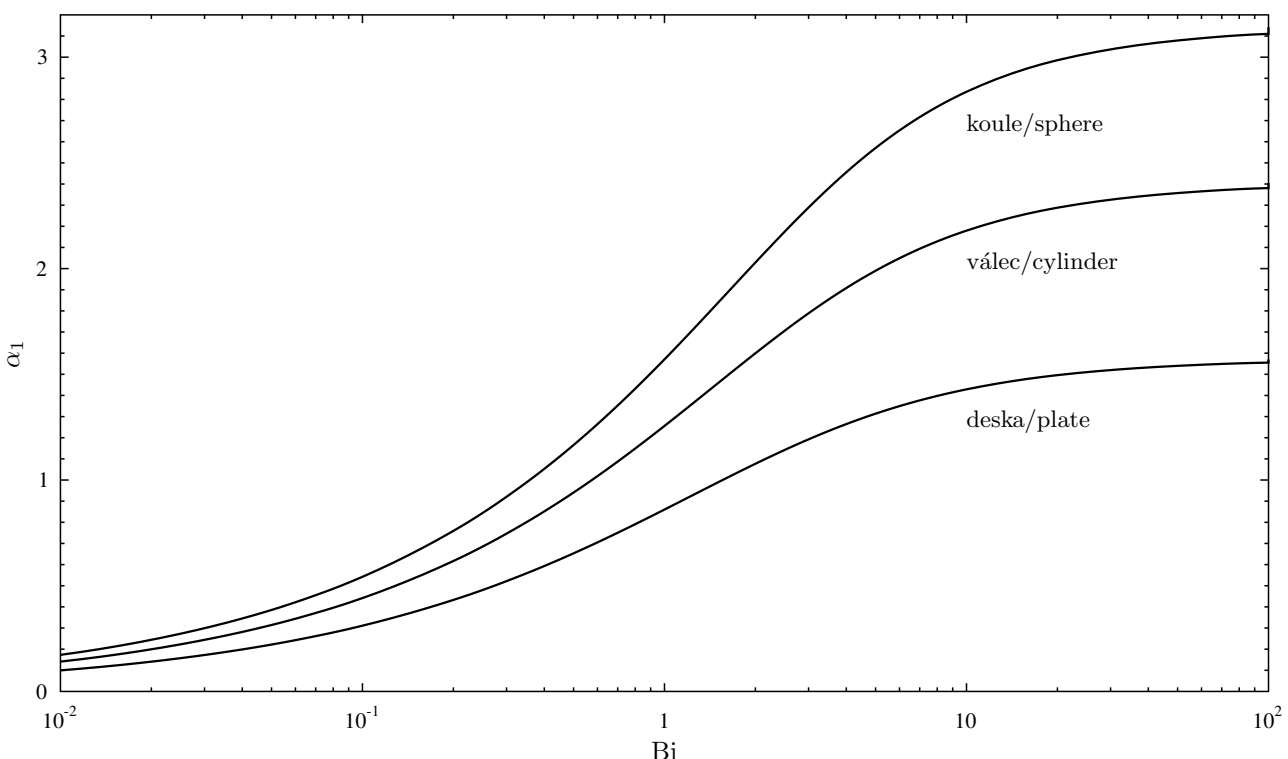
$$\text{Bi} = \frac{\alpha R}{\lambda}$$

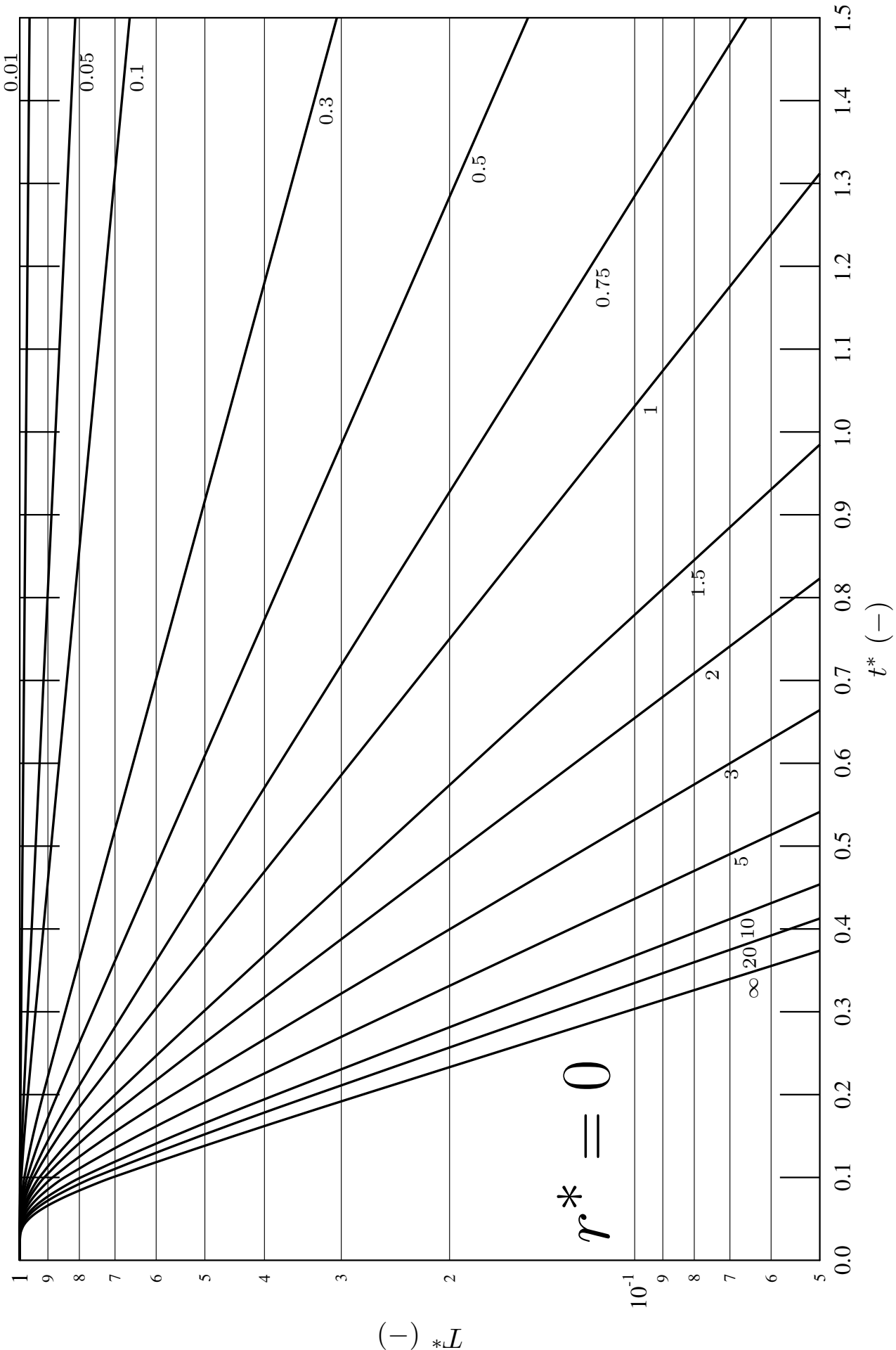
$$T^* = \sum_{j=1}^{\infty} \underbrace{\frac{2 (\sin \alpha_j - \alpha_j \cos \alpha_j)}{\alpha_j - \sin \alpha_j \cos \alpha_j}}_{A_n} \frac{\sin (\alpha_j r^*)}{\alpha_j r^*} \exp(-\alpha_j^2 t^*)$$

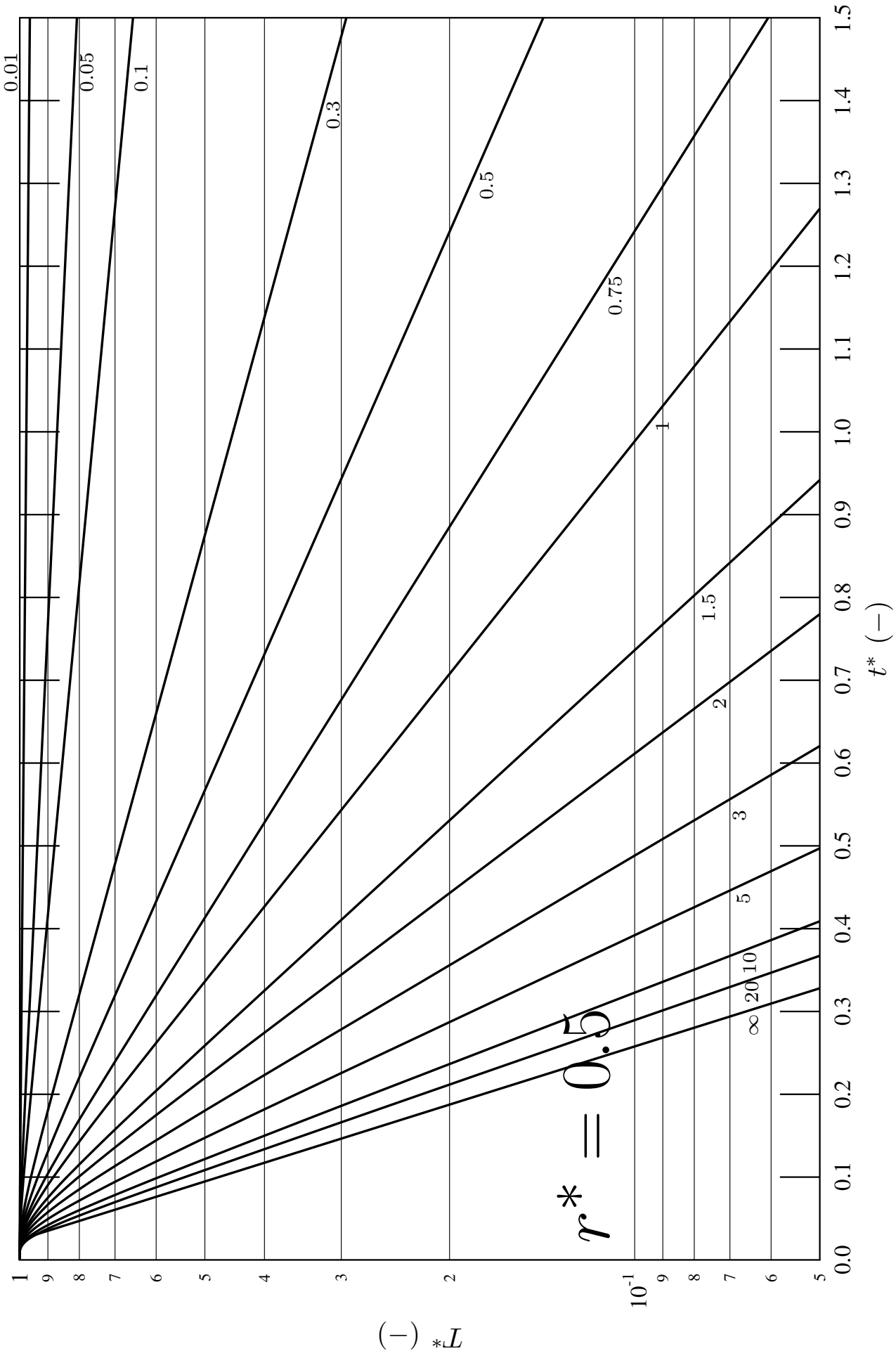
Vlastní číslo (eigenvalue)  $\alpha_j$  je řešením rovnice

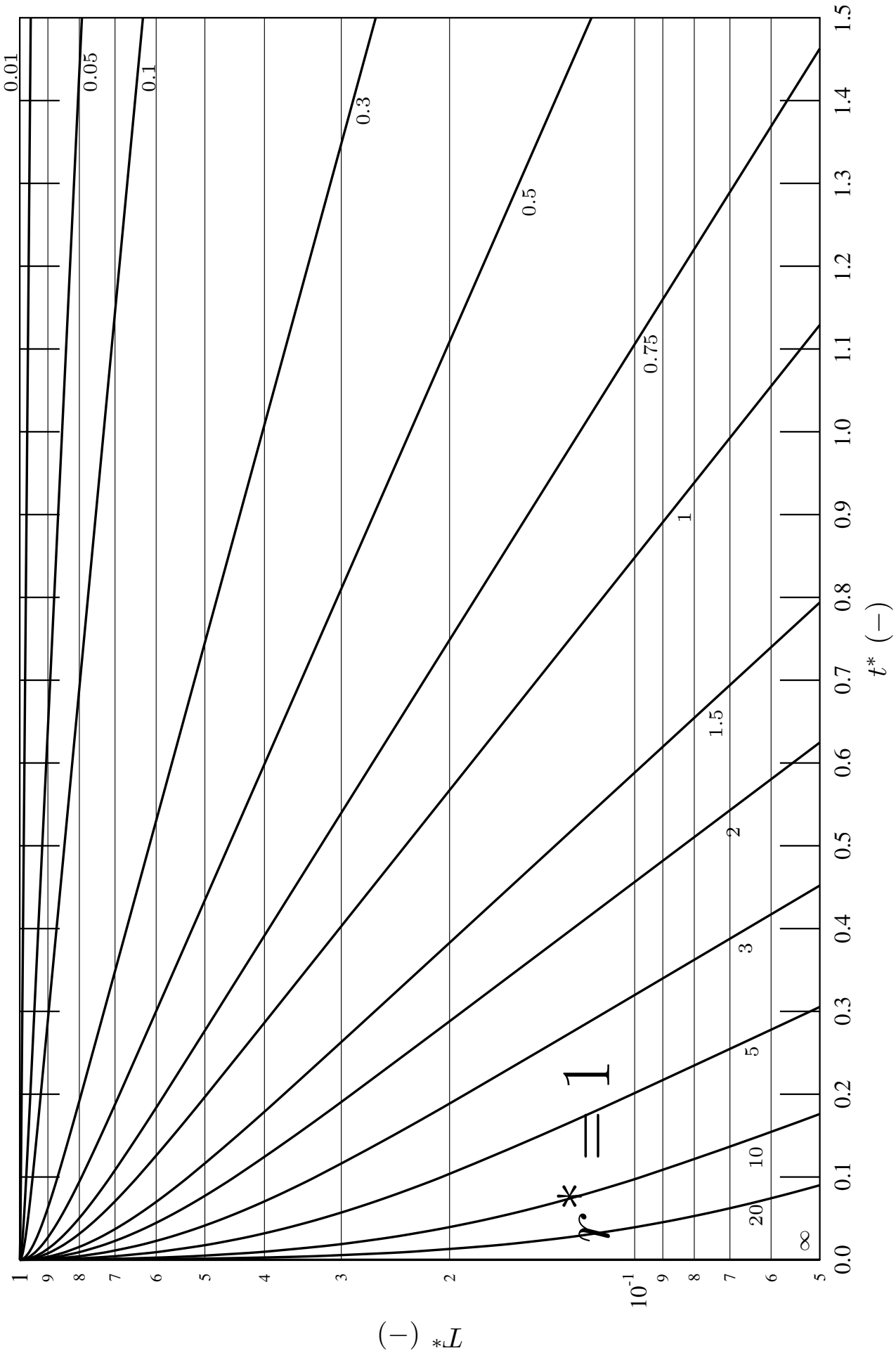
$$0 = 1 - \text{Bi} - \alpha_j \cotan \alpha_j$$

První vlastní číslo charakteristické rovnice pro neomezenou desku, neomezený válec a kouli (viz tabulka Aproximace pro dlouhé časy)







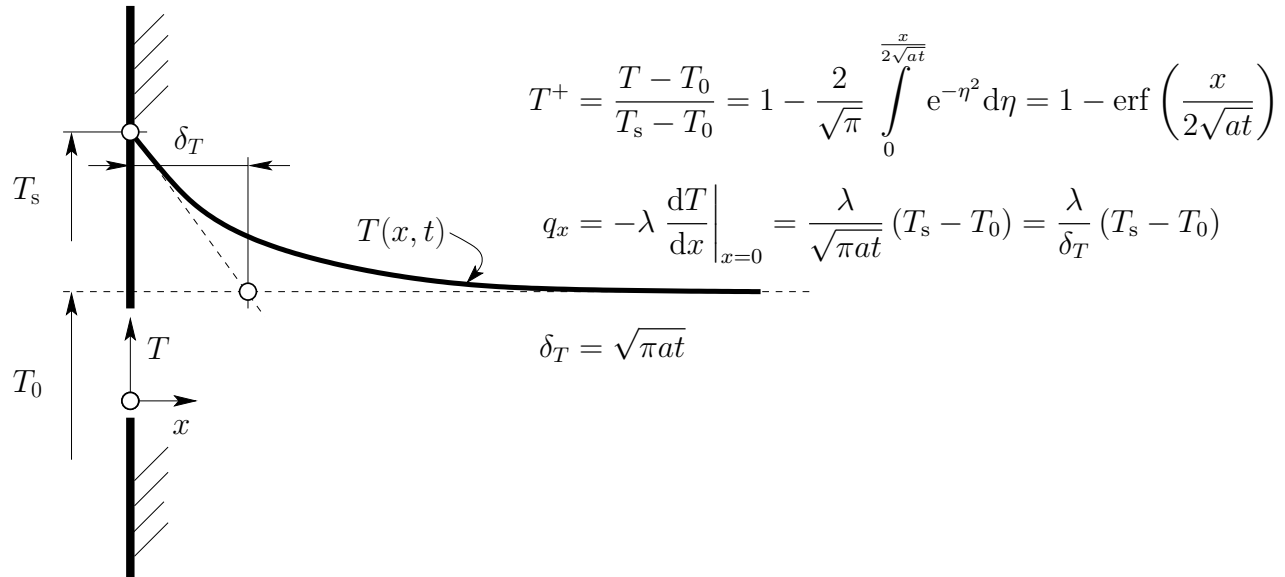


## Aproximace pro dlouhé časy

Bi	deska		válec		koule	
	$\alpha_1$	$A_1$	$\alpha_1$	$A_1$	$\alpha_1$	$A_1$
0,010	0,09983	1,0017	0,14124	1,0025	0,17303	1,0030
0,025	0,15746	1,0041	0,22291	1,0062	0,27318	1,0075
0,050	0,22176	1,0082	0,31426	1,0124	0,38537	1,0150
0,075	0,27048	1,0122	0,38370	1,0185	0,47080	1,0224
0,100	0,31105	1,0161	0,44168	1,0246	0,54228	1,0298
0,200	0,43284	1,0311	0,61697	1,0483	0,75931	1,0592
0,300	0,52179	1,0450	0,74646	1,0712	0,92079	1,0880
0,400	0,59324	1,0580	0,85158	1,0931	1,05279	1,1164
0,500	0,65327	1,0701	0,94077	1,1143	1,16556	1,1441
0,600	0,70507	1,0814	1,01844	1,1345	1,26440	1,1713
0,700	0,75056	1,0918	1,08725	1,1539	1,35252	1,1978
0,750	0,77136	1,0968	1,11891	1,1633	1,39325	1,2108
0,800	0,79103	1,1016	1,14897	1,1724	1,43203	1,2236
0,900	0,82740	1,1107	1,20484	1,1902	1,50442	1,2488
1,000	0,86033	1,1191	1,25578	1,2071	1,57080	1,2732
1,100	0,89035	1,1270	1,30251	1,2232	1,63199	1,2970
1,200	0,91785	1,1344	1,34558	1,2387	1,68868	1,3201
1,300	0,94316	1,1412	1,38543	1,2533	1,74140	1,3424
1,400	0,96655	1,1477	1,42246	1,2673	1,79058	1,3640
1,500	0,98824	1,1537	1,45695	1,2807	1,83660	1,3850
1,600	1,00842	1,1593	1,48917	1,2934	1,87976	1,4052
1,700	1,02725	1,1645	1,51936	1,3055	1,92035	1,4247
1,800	1,04486	1,1695	1,54769	1,3170	1,95857	1,4436
1,900	1,06136	1,1741	1,57434	1,3279	1,99465	1,4618
2,000	1,07687	1,1785	1,59945	1,3384	2,02876	1,4793
2,500	1,14223	1,1966	1,70602	1,3836	2,17463	1,5578
3,000	1,19246	1,2102	1,78866	1,4191	2,28893	1,6227
3,500	1,23227	1,2206	1,85449	1,4473	2,38064	1,6761
4,000	1,26459	1,2287	1,90808	1,4698	2,45564	1,7202
4,500	1,29134	1,2351	1,95248	1,4880	2,51795	1,7567
5,000	1,31384	1,2402	1,98981	1,5029	2,57043	1,7870
5,500	1,33302	1,2444	2,02162	1,5151	2,61515	1,8124
6,000	1,34955	1,2479	2,04901	1,5253	2,65366	1,8338
6,500	1,36396	1,2508	2,07283	1,5339	2,68713	1,8519
7,000	1,37662	1,2532	2,09373	1,5411	2,71646	1,8673
7,500	1,38782	1,2552	2,11220	1,5473	2,74235	1,8806
8,000	1,39782	1,2570	2,12864	1,5526	2,76536	1,8920
8,500	1,40678	1,2585	2,14336	1,5572	2,78593	1,9020
9,000	1,41487	1,2598	2,15661	1,5611	2,80443	1,9106
9,500	1,42220	1,2610	2,16860	1,5646	2,82113	1,9182
10,000	1,42887	1,2620	2,17950	1,5677	2,83630	1,9249
20,000	1,49613	1,2699	2,28805	1,5919	2,98572	1,9781
50,000	1,54001	1,2727	2,35724	1,6002	3,07884	1,9962
100,000	1,55525	1,2731	2,38090	1,6015	3,11019	1,9990
$\infty$	1,57080	1,2732	2,40483	1,6020	3,14159	2,0000

[https://www.wolframalpha.com/input/?i=solve+0=x-1\\*cot\(x\)](https://www.wolframalpha.com/input/?i=solve+0=x-1*cot(x))  
[https://www.wolframalpha.com/input/?i=solve0=x\\*J1\(x\)-1\\*J0\(x\)](https://www.wolframalpha.com/input/?i=solve0=x*J1(x)-1*J0(x))  
[https://www.wolframalpha.com/input/?i=solve0=1-1-x\\*cot\(x\)](https://www.wolframalpha.com/input/?i=solve0=1-1-x*cot(x))

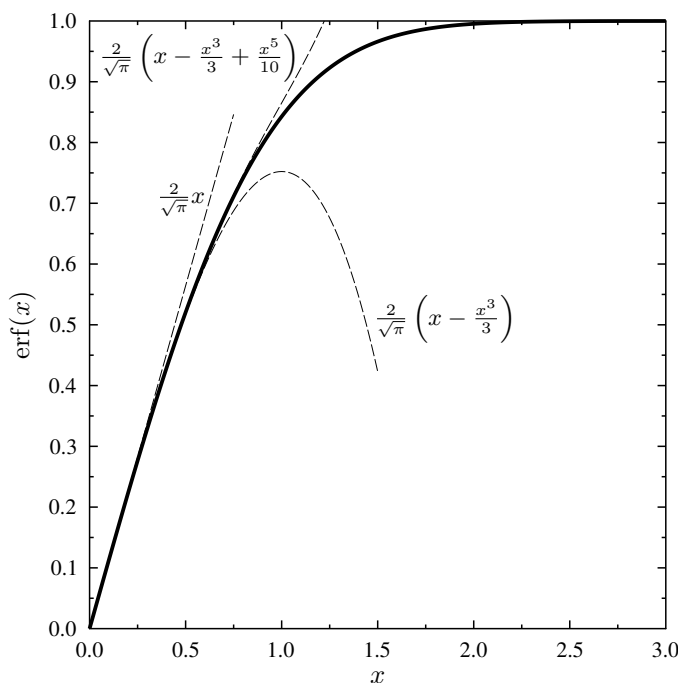
## Nestacionární vedení tepla v poloneomezeném tělese



$$\frac{\partial T}{\partial t} = a \frac{\partial^2 T}{\partial x^2}$$

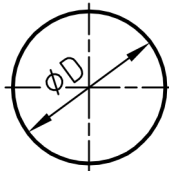
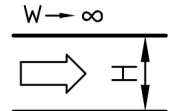
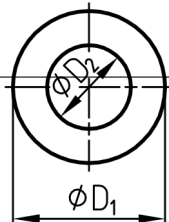
Chybová funkce (Gaussova chybová funkce)

[https://www.wolframalpha.com/input/?i=plot+erf\(x\)+from+0+to+2](https://www.wolframalpha.com/input/?i=plot+erf(x)+from+0+to+2)  
[https://www.wolframalpha.com/input/?i=erf\(1\)](https://www.wolframalpha.com/input/?i=erf(1))  
[https://www.wolframalpha.com/input/?i=solve+erf\(x\)=0.5](https://www.wolframalpha.com/input/?i=solve+erf(x)=0.5)



$\operatorname{erf}(x)$	$x$
0.999	2.3268
0.995	1.9849
0.99	1.8214
0.95	1.3859
0.9	1.1631
0.8	0.9062
0.7	0.7329
0.6	0.5951
0.5	0.4769
0.4	0.3708
0.3	0.2725
0.2	0.1791
0.1	0.0889

# Konvektivní přenos tepla

Geometrie	Korelace	Char. roz.	Char. teplota	Omezení	Poznámka
<b>Nucená konvekce v potrubí</b>					
 Colburn	$\text{Nu} = 0,027 \text{Re}^{0,8} \text{Pr}^{1/3}$ 0,023 (více konzervativní)	$D$	$\frac{1}{2}(T_{in} + T_{out})$	$\text{Re} \geq 10^4 (3 \cdot 10^3)$ $0,5 < \text{Pr} < 17000$	$10 < L/D < 60$ $[1 + (D/L)^{2/3}]$ Sieder–Tate $(\bar{\mu}/\mu_w)^{0,14}$
	$\text{Nu} = 0,015 \text{Re}^{0,83} \text{Pr}^{0,42}$ Whitaker	$D$	$\frac{1}{2}(T_{in} + T_{out})$	$2300 < \text{Re} < 10^5$ $0,48 < \text{Pr} < 592$	Sieder–Tate $(\bar{\mu}/\mu_w)^{0,14}$
	$\text{Nu} = 1,86 \text{Gz}^{1/3}$ 1,615 (Leveque pro krátké trubky a konstantní teplotu stěny)	$D$	$\frac{1}{2}(T_{in} + T_{out})$	$\text{Re} < 2100$ $0,5 < \text{Pr} < 17000$ $\text{Nu} > 3,72$	Sieder–Tate $(\bar{\mu}/\mu_w)^{0,14}$
	$\text{Nu} = 3,66 + \frac{0,0668 \text{Gz}}{1 + 0,04 \text{Gz}^{2/3}}$ Hausen	$D$	$\frac{1}{2}(T_{in} + T_{out})$	$\text{Re} < 2300$	Sieder–Tate $(\bar{\mu}/\mu_w)^{0,14}$
	$\text{Nu} = 7,55 + \frac{0,024 \text{Gz}^{1,14}}{1 + 0,0358 \text{Gz}^{2/3}}$	$2H$	$\frac{1}{2}(T_{in} + T_{out})$	$\text{Re} < 2200$ $0,1 < \text{Pr} < 1000$	
	$\text{Nu} = 3,66 + 1,2\kappa^{0,8} + \frac{0,19 [1 + 0,14\kappa^{0,5}] \text{Gz}^{0,8}}{1 + 0,117 \text{Gz}^{0,467}}$	$D_1 - D_2$	$\frac{1}{2}(T_{in} + T_{out})$	laminární tok	

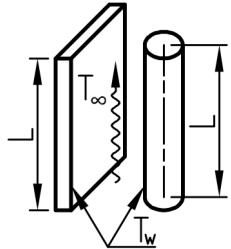
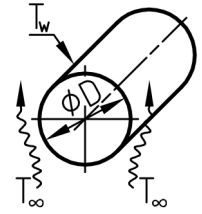
pokračování na další straně

pokračování z předchozí strany

Geometrie	Korelace	Char. roz.	Char. teplota	Omezení	Poznámka
	kde $\kappa = D_2/D_1$ ; $Gz = \text{Re} \Pr D_e/L$ Gnielinski			v mezikruží	
<b>Externí tok</b>					
	$Nu = 0,664 \text{Re}^{1/2} \Pr^{1/3}$	$L$	$\frac{1}{2}(T_\infty + T_w)$	$\text{Re} < 5 \cdot 10^5$ $0,6 < \Pr < 60$	
	$Nu = (0,037 \text{Re}^{0,8} - 870) \Pr^{1/3}$	$L$	$\frac{1}{2}(T_\infty + T_w)$	$5 \cdot 10^5 < \text{Re} < 10^8$ $0,6 < \Pr < 60$	
	$Nu = 0,3 + \frac{0,62 \text{Re}^{1/2} \Pr^{1/3}}{[1 + (0,4/\Pr)^{2/3}]^{1/4}} \left[ 1 + \left( \frac{\text{Re}}{282000} \right)^{5/8} \right]^{4/5}$	$D$	$\frac{1}{2}(T_\infty + T_w)$	$\text{Re} \Pr > 0,2$	
	$Nu = 0,25 + (0,4 \text{Re}^{1/2} + 0,06 \text{Re}^{2/3}) \Pr^{0,4}$	$D$	$T_\infty$	$1 < \text{Re} < 10^5$ $0,67 < \Pr < 300$	Sieder-Tate $(\mu_\infty / \mu_w)^{0,25}$
	$Nu = 2 + (0,4 \text{Re}^{1/2} + 0,06 \text{Re}^{2/3}) \Pr^{0,4}$	$D$	$T_\infty$	$3,5 < \text{Re} < 8 \cdot 10^4$ $0,7 < \Pr < 380$	Sieder-Tate $(\mu_\infty / \mu_w)^{0,25}$
	$Nu = 0,102 \text{Re}^{0,675} \Pr^{1/3}$	$a$	$\frac{1}{2}(T_\infty + T_w)$	$5000 < \text{Re} < 10^5$	

pokračování na další straně

pokračování z předchozí strany

Geometrie	Korelace	Char. roz.	Char. teplota	Omezení	Poznámka
<b>Volná konvekce</b>					
	$\text{Nu} = \left\{ 0,825 + \frac{0,387 \text{Ra}^{1/6}}{[1 + (0,492/\text{Pr})^{9/16}]^{8/27}} \right\}^2$ $\text{Nu} = 0,59 \text{Ra}^{1/4}$ $\text{Nu} = 0,1 \text{Ra}^{1/3}$	$L$	$\frac{1}{2}(T_\infty + T_w)$	$0,1 \leq \text{Ra} \leq 10^{12}$	$\text{Nu}_{cyl}/\text{Nu}_{plate} =$ $= \left[ 1 + 1,43 \left( \frac{L}{D\text{Gr}^{0,25}} \right)^{0,9} \right]$
	$\text{Nu} = \left\{ 0,6 + \frac{0,387 \text{Ra}^{1/6}}{[1 + (0,559/\text{Pr})^{9/16}]^{8/27}} \right\}^2$ $\text{Nu} = 0,53 \text{Ra}^{1/4}$ $\text{Nu} = 0,13 \text{Ra}^{1/3}$	$D$	$\frac{1}{2}(T_\infty + T_w)$	$10^5 \leq \text{Ra} \leq 10^{12}$	
					experiment

# Termofyzikální vlastnosti

## Vzduch\*)

$T$ ( $^{\circ}\text{C}$ )	$\varrho$ ( $\text{kg m}^{-3}$ )	$c_p$ ( $\text{J kg}^{-1} \text{K}^{-1}$ )	$\lambda$ ( $\text{W m}^{-1} \text{K}^{-1}$ )	$\nu$ ( $\text{m}^2 \text{s}^{-1}$ )	$\beta$ ( $\text{K}^{-1}$ )
0	1,2760	1006	0,0241	$13,5 \cdot 10^{-6}$	$3,67 \cdot 10^{-3}$
20	1,1887	1006	0,0256	$15,3 \cdot 10^{-6}$	$3,43 \cdot 10^{-3}$
40	1,1119	1006	0,0270	$17,2 \cdot 10^{-6}$	$3,20 \cdot 10^{-3}$
60	1,0456	1007	0,0285	$19,2 \cdot 10^{-6}$	$3,00 \cdot 10^{-3}$
80	0,9867	1009	0,0299	$21,2 \cdot 10^{-6}$	$2,83 \cdot 10^{-3}$
100	0,9334	1011	0,0314	$23,8 \cdot 10^{-6}$	$2,68 \cdot 10^{-3}$
200	0,7359	1026	0,0385	$35,0 \cdot 10^{-6}$	$2,11 \cdot 10^{-3}$
300	0,6076	1047	0,0447	$48,5 \cdot 10^{-6}$	$1,75 \cdot 10^{-3}$
400	0,5173	1068	0,0502	$63,4 \cdot 10^{-6}$	$1,49 \cdot 10^{-3}$
500	0,4504	1093	0,0555	$79,5 \cdot 10^{-6}$	
600	0,3988	1114	0,0607	$96,8 \cdot 10^{-6}$	
700	0,3578	1137	0,0660	$115 \cdot 10^{-6}$	
800	0,3244	1160	0,0706	$135 \cdot 10^{-6}$	
900	0,2970	1182	0,0750	$155 \cdot 10^{-6}$	
1000	0,2730	1193	0,0791	$175 \cdot 10^{-6}$	

\*) Transportní a termodynamické vlastnosti suchého vzduchu při tlaku 101325 Pa. Podle Šesták, J., Bukovský, J., Houška, M. Tepelné pochody. Transportní a termodynamická data, Vydavatelství ČVUT, Praha (1986). V posledním sloupci je uveden součinitel objemové teplotní roztažnosti, který vystupuje například v Grashoffově čísle Gr.

## Voda\*\*)

$T$ ( $^{\circ}\text{C}$ )	$\varrho$ ( $\text{kg m}^{-3}$ )	$c_p$ ( $\text{J kg}^{-1} \text{K}^{-1}$ )	$\lambda$ ( $\text{W m}^{-1} \text{K}^{-1}$ )	$\nu$ ( $\text{m}^2 \text{s}^{-1}$ )	$\beta$ ( $\text{K}^{-1}$ )
0	999,8	4218	0,569	$1,751 \cdot 10^{-6}$	$-0,07 \cdot 10^{-3}$
10	999,7	4192	0,587	$1,304 \cdot 10^{-6}$	$0,088 \cdot 10^{-3}$
20	998,2	4182	0,604	$1,004 \cdot 10^{-6}$	$0,206 \cdot 10^{-3}$
30	995,7	4178	0,618	$0,801 \cdot 10^{-6}$	$0,303 \cdot 10^{-3}$
40	992,2	4178	0,632	$0,658 \cdot 10^{-6}$	$0,385 \cdot 10^{-3}$
50	988,0	4181	0,643	$0,553 \cdot 10^{-6}$	$0,457 \cdot 10^{-3}$
60	983,2	4184	0,654	$0,474 \cdot 10^{-6}$	$0,523 \cdot 10^{-3}$
70	977,8	4190	0,662	$0,413 \cdot 10^{-6}$	$0,585 \cdot 10^{-3}$
80	971,8	4196	0,669	$0,365 \cdot 10^{-6}$	$0,643 \cdot 10^{-3}$
90	965,3	4205	0,676	$0,326 \cdot 10^{-6}$	$0,698 \cdot 10^{-3}$
100	958,4	4216	0,682	$0,295 \cdot 10^{-6}$	$0,753 \cdot 10^{-3}$

\*\*) Termofyzikální parametry vody na dolní mezní křivce. Pro teploty 0 – 100°C při tlaku 101325 Pa. Podle Šesták, J., Bukovský, J., Houška, M. Tepelné pochody. Transportní a termodynamická data, Vydavatelství ČVUT, Praha (1986). V posledním sloupci je uveden součinitel objemové teplotní roztažnosti, který vystupuje například v Grashoffově čísle Gr.

## Vlastnosti některých láték

	$\varrho_{20} \text{ } ^\circ\text{C}$ $\text{kg m}^{-3}$	$c_{p,20} \text{ } ^\circ\text{C}$ $\text{J kg}^{-1} \text{ K}^{-1}$	$\lambda_{20} \text{ } ^\circ\text{C}$ $\text{W m}^{-1} \text{ K}^{-1}$
hliník	2710	902	236
dural (96 % Al, 4 % Cu, Mg)	2790	881	169
měď	8930	386	398
hliníkový bronz (90 % Cu, 10 % Al)	8360	420	56
bronz (89 % Cu, 11 % Sn)	8800	343	24,8
mosaz (70 % Cu, 30 % Zn)	8440	377	109
zlato	19300	127	315
olovo	11340	128	35,3
nikl	8900	444	91,4
platina	21450	133	71,4
stříbro	10500	234	427
cín	7310	228	67
titan	4500	520	22
wolfram	19350	134	179
uran	19070	116	27,4
cihly (suché)	1760 – 1800	840	0,38 – 0,57
sklo	2710	840	0,76
šamot	2000 – 2050	960	1,22 – 1,35 (400 °C)

Šesták, J., Bukovský, J., Houška, M. Tepelné pochody. Transportní a termodynamická data, Vydavatelství ČVUT, Praha (1986).

## Tlak nasycených par

$$\left. \frac{dp}{dT} \right|_{\text{fr}} = \frac{\Delta h^{\text{fr}}}{T \Delta v^{\text{fr}}} \quad \left. \frac{d \ln p}{dT} \right|_{\text{lg}} = \frac{\Delta \tilde{H}^{\text{lg}}}{RT^2} \quad \ln p'' = A - \frac{B}{T + C} \quad (\text{Pa, K})$$

	$\mathcal{M}$ $\text{kg mol}^{-1}$	$\varrho_{T_{\text{ref}}}$ $\text{kg m}^{-3}$	$T_{\text{ref}}$ K	A	B	C
H <sub>2</sub> O	0,018015	998	293,15	23,1964	3816,44	-46,13
CO	0,028010	803	81	19,2614	530,22	-13,15
NH <sub>3</sub>	0,017031	639	273,15	21,8409	2132,5	-32,98
N <sub>2</sub> H <sub>4</sub>	0,032045	1008	293,15	22,8827	3877,65	-45,15
CH <sub>4</sub>	0,016043	425	111,7	20,1171	897,84	-7,16
C <sub>8</sub> H <sub>18</sub>	0,114232	692	293,15	20,5778	2896,28	-52,41
C <sub>6</sub> H <sub>6</sub>	0,078114	885	289,15	20,7936	2788,51	-52,36
C <sub>2</sub> H <sub>5</sub> OH	0,046069	789	293,15	23,8047	3803,98	-41,68
CH <sub>3</sub> OH	0,032042	791	293,15	23,4803	3626,55	-34,29

Šesták, J., Bukovský, J., Houška, M. Tepelné pochody. Transportní a termodynamická data, Vydavatelství ČVUT, Praha (1986).

# 11416 ~ P265GH ~ 1.0425

<b>ČSN 41 1416</b>	Nízkouhlíková ocel obvyklých jakostí	<b>OCEL</b>
<b>STN 41 1416</b>	pro vyšší teploty	<b>11 416</b>

Chemické složení [hm. %]								
C	Mn	Si	Cr	Ni	Cu	Cr + Ni + Cu	P	S
max 0,20	min 0,50	max 0,35	max 0,30	max 0,30	max 0,30	max 0,70	max 0,040	max 0,040

## Polotovary

- [1] předvalky
- [2] tlusté plechy válcované za tepla
- [3] tyče válcované za tepla
- [4] výkovky

## Mechanické vlastnosti

Polotovar	[1]	[2]		
Rozměr t, d [mm]	60–130	> 130	≤ 40	40–60
Stav	.0 1)		.1	
Mez kluzu R <sub>e</sub> nebo R <sub>p0,2</sub> [MPa] min	225		255	245
Mez pevnosti R <sub>m</sub> [MPa]	400–490		400–490	
Tažnost A <sub>5</sub> [%] min	27		napříč 23	napříč 22
Kontrakce Z [%]	—		—	
Vrubová houževnatost KCU 3 [J.cm <sup>-2</sup> ] min	—		59	
Vrubová houževnatost KCV [J.cm <sup>-2</sup> ] min	—		35	
Tvrdost HB		—		
Modul pružnosti E [GPa]		206		
Modul pružnosti ve smyku G [GPa]		—		
Polotovar	[3] [4]			
Rozměr t, d [mm]	≤ 60	60–100	100–150	150–300
Stav		.1 nebo .5		
Mez kluzu R <sub>e</sub> nebo R <sub>p0,2</sub> [MPa] min	235	225	215	205
Mez pevnosti R <sub>m</sub> [MPa]		400–490		
Tažnost A <sub>5</sub> [%] min podél	26	25	25	24
Tažnost A <sub>5</sub> [%] min tang.	22	21	21	20
Kontrakce Z [%]		—		
Vrubová houževnatost KCU 3 [J.cm <sup>-2</sup> ] min podél	50		—	
Tvrdost HB max		149		
Modul pružnosti E [GPa]		206		
Modul pružnosti ve smyku G [GPa]		—		

Teplota [°C]	100	200	300	400	500	600
Modul pružnosti E [GPa] za zvýšených teplot	201	191	181	172	162	152
Teplota [°C]	20	100	200	250	300	350
Nejnižší mez kluzu R <sub>p</sub> 0,2 [MPa] za zvýšených teplot	235	226	206	181	162	118
	225	216	196	172	152	108
	215	206	181	162	142	103
	205	196	172	152	132	98

Hustota ρ [kg.m <sup>-3</sup> ]	Měrná tepelná kapacita c <sub>p</sub> [J.kg <sup>-1</sup> .K <sup>-1</sup> ]	Teplotní součinitel roztažnosti α [K <sup>-1</sup> ]	Tepelná vodivost λ <sub>t</sub> [W.m <sup>-1</sup> .K <sup>-1</sup> ]	Rezistivita ρ [Ω.m]
7 800	—	11,0.10 <sup>-6</sup>	53,5	—

## Odolnost proti degradačním procesům

ODOLNOST PROTI TEČENÍ							
Mez pevnosti při tečení v tahu R <sub>mt</sub> [MPa]							
Teplota [°C]	380	400	420	440	460	480	500
R <sub>mt</sub> /10 <sup>4</sup>	213	181	151	125	100	78	57
R <sub>mt</sub> /10 <sup>5</sup>	171	141	114	90	67	47	—
R <sub>mt</sub> /2.10 <sup>5</sup>	159	130	104	80	58	37	—
R <sub>mt</sub> /2,5.10 <sup>5</sup>	155	126	101	77	55	34	—
Mez tečení v tahu R <sub>T</sub> [MPa]							
Teplota [°C]	380	400	420	440	460	480	500
R <sub>T</sub> /10 <sup>4</sup> /1	164	136	113	91	72	53	—
R <sub>T</sub> /10 <sup>5</sup> /1	118	95	73	57	42	30	—

TEPELNÉ ZPRACOVÁNÍ		
normalizační žíhání	890–920 °C	ochlazovat na vzduchu
žíhání ke snížení pnutí	600–650 °C	zvolna ochlazovat
popouštění	600–680 °C	ochlazovat na vzduchu
teploty přeměn	A <sub>c1</sub> ~ 710–720 °C	A <sub>c3</sub> ~ 840–860 °C

TVAŘITELNOST	
třída tvařitelnosti za tepla 1 teploty tváření 1 100–850 °C	ochlazovat na vzduchu

<b>SVAŘITELNOST</b> podle ČSN 05 1309, ČSN 05 1311 – vhodná ke svařování							
doporučený předehřev			– uhlíkový ekvivalent $C_e \leq 0,38$				
$t \leq 25 \text{ mm}$	– bez předehřevu		$t = 25\text{--}35 \text{ mm}$	– bez předehřevu při $C < 0,18\%$ a přídavném materiálu			
$t > 35 \text{ mm}$	s nízkým obsahem vodíku (např. bázické elektrody)		– 75–150 °C				
Doporučené přídavné materiály pro svařování							
plamenem ručně	drát G 42 podle ČSN 05 5322		el. obloukem ručně	E 44.72 (E- K103) podle ČSN 05 5026			
v ochranné atmosféře CO <sub>2</sub>	E 44.83 (E- B 121) podle ČSN 05 5027		pod tavidlem	drát P 44.13C (C 113), popř. 44.23 C (C 123) podle ČSN 05 5390			
polotovar stav [2] [4]	soustružení, hoblování .1	frézování, vrtání 16b	broušení	drát S1 (A 102) podle ČSN 05 5370			
tavidlo FMS 1 (F 102). FMS 2 (F 103), FMS 6 (F 106)							
<b>OBROBITELNOST</b>							
polotovar stav [2] .1	soustružení, hoblování	frézování, vrtání	broušení				
TECHNOLOGICKÉ ZKOUŠKY							
zkouška lámavosti podle ČSN 42 0401							
polotovar [3] stav .1	úhel ohybu $\alpha = 180^\circ$	průměr trnu	podél D = 1,5 a tang. D = 2 a				
[2] .1	$\alpha = 180^\circ$	$t \leq 40$	D = 1,5 a				
		$t = 40\text{--}60$	D = 2 a				
<b>Použití</b>							
Na součásti kotlů a tlakových nádob podle ČSN 42 0090 a ČSN 69 0010.							
<b>Ostatní vlastnosti</b>							
Druh oceli podle způsobu výroby	Barevné značení podle ČSN 42 0010	Třída odpadu podle ČSN 42 0030	uklidněná	žlutá-červená	007		

<b>Porovnání se zahraničními materiály</b>					
<i>ISO</i>		<i>EURO</i>		<i>Německo</i>	
F 5	ISO 2604/I,IV-75	P 265 GH	EN 10028/2-92	H II	DIN 17155-83
F 8	ISO 2604/I,IV-75			P 265 GH	DIN EN 10028-92
P 7	ISO 2604/I,IV-75				
P 8	ISO 2604/I,IV-75				
<i>Francie</i>		<i>Velká Británie</i>		<i>Rusko</i>	
A 42 AP	NF A36-205-82	151-400	BS 1501/1-80	16K	GOST 5520-79
A 42 CP	NF A36-205-82	154-400	BS 1501/1-80	20K	GOST 5520-79
		161-400	BS 1501/1-80		
		164-400	BS 1501/1-80		
		P 265 GH	BS EN 10028/2-92		
<i>USA</i>		<i>Japonsko</i>		<i>Kanada</i>	
Gr. A	ASTM A662	SG 295	JIS G3116-90		
Gr. C	ASTM A284	SGV 410	JIS G3118-87		
Gr. D	ASTM A414	SGV 450	JIS G3118-87	–	–
Gr. 60	ASTM A442	SGV 480	JIS G3118-87		
Gr. 60	ASTM A515	SPV 315	JIS G3115-90		
<i>Itálie</i>		<i>Rakousko</i>		<i>Švédsko</i>	
Fe 410KG,KT,KW	UNI 7660-77	St 41KW	ÖNORM M3121-91	1430	SS 141430
Fe 410-1KG,KT,KW	UNI 5869-75			1431	SS 141431
Fe 410-2KG,KT,KW	UNI 5869-75			1432	SS 141432
P 265 GH	UNI EN 10028/2-92				
<i>Polsko</i>		<i>Maďarsko</i>		<i>Norsko</i>	
St 41K	PN H-84024-75	KL 2C	MSZ 1741-89		
<i>Finsko</i>		<i>Švýcarsko</i>		<i>Španělsko</i>	
–	–	–	–	A 42RCI	UNE 36087/1-78
				A 42RCII	UNE 36087/1-78
				P 265 GH	UNE EN 10028-94
<i>Belgie</i>		<i>Bulharsko</i>		<i>Jugoslávie</i>	
D 42-1	NBN 629-72	16K	BDS 5930-76	Č. 1204	JUS C.B4.014-77
D 42-2	NBN 629-72				
E 42-1	NBN 630-72				
<i>Rumunsko</i>		<i>–</i>		<i>–</i>	
K 410	STAS 2883/3-88				
<b>Poznámky</b>					

<sup>1)</sup> mechanické vlastnosti se zkouší na vzorku překovaném na Ø 50 mm a normalizačně žíhaném

ČSN 41 2021		OCEL					
STN 41 2021		Žárupevná uhlíková ocel					
Chemické složení [hm. %]							
C	Mn	Si	Cr	Ni	Cu	P	S
0,07–0,15	0,35–0,60	0,17–0,35	max 0,25	max 0,25	max 0,25	max 0,040	max 0,040
Polotovary							
[1] trubky bezešvé							
[2] trubky bezešvé přesné							
Mechanické vlastnosti							
Polotovar			[1]	[2]			
Rozměr t, d [mm]		≤12	12–25	25–36			
Stav			.1				
Mez kluzu R <sub>e</sub> [MPa] min		235	225	215			
Mez pevnosti R <sub>m</sub> [MPa]		340–470					
Tažnost A <sub>5</sub> [%] min		25					
Kontrakce Z [%]		—					
Vrubová houževnatost KCU 3 [J . cm <sup>-2</sup> ] podél min		69					
Tvrďost HB max		147					
Modul pružnosti E [GPa]		206					
Modul pružnosti ve smyku G [GPa]		—					
Teplota [°C]	100	200	300	400	500	600	
Modul pružnosti E [GPa] za zvýšených teplot	199,0	191,0	181,4	171,6	161,8	152,0	
Teplota [°C]	100	200	250	300	350	400	425
Nejnižší mez kluzu	t ≤ 12 mm	205	186	166	147	127	107
R <sub>e</sub> [MPa]	t = 12–25 mm	205	186	166	137	117	107
za zvýšených teplot	t = 25–36 mm	205	186	166	137	117	107
88	88	88	88	88	88	88	88
Fyzikální vlastnosti							
Hustota	Měrná tepelná kapacita	Teplotní součinitel roztažnosti	Tepelná vodivost	Rezistivita			
ρ [kg . m <sup>-3</sup> ]	c <sub>p</sub> [J . kg <sup>-1</sup> . K <sup>-1</sup> ]	α [K <sup>-1</sup> ]	λ <sub>t</sub> [W . m <sup>-1</sup> . K <sup>-1</sup> ]	ρ [Ω . m]			
—	—	11,1 · 10 <sup>-6</sup>	47	—			

**Odolnost proti degradačním procesům**

## ODOLNOST PROTI TEČENÍ

Mez pevnosti při tečení v tahu R<sub>mt</sub> [MPa]

Teplota [°C]	380	400	420	440	460	480	500
R <sub>mt</sub> /10 <sup>4</sup>	221	181	148	118	91	69	51
R <sub>mt</sub> /10 <sup>5</sup>	164	127	94	68	46	(33)	—
R <sub>mt</sub> /2.10 <sup>5</sup>	146	111	77	53	(36)	—	—

Mez tečení v tahu R<sub>t</sub> [MPa]

Teplota [°C]	380	400	420	440	460	480	500
R <sub>t</sub> /10 <sup>4</sup> /1	164	136	113	91	72	53	38
R <sub>t</sub> /10 <sup>5</sup> /1	118	95	74	57	42	30	21

**Technologické údaje**

## TEPELNÉ ZPRACOVÁNÍ

normalizační žíhání	900–930 °C	ochlazovat na vzduchu
žíhání na měkko	670–700 °C	min 4 h na teplotě, ochlazovat v peci
žíhání ke snížení pnutí	600–650 °C	ochlazovat v peci
teploty přeměn	A <sub>c1</sub> ~ 710–720 °C	A <sub>c3</sub> ~ 850–880 °C

## TVÁRITELNOST

teploty tváření	1 100–850 °C	ochlazovat na vzduchu
-----------------	--------------	-----------------------

## SVAŘITELNOST

podle ČSN 05 1310	– zaručená – pro t ≤ 25 mm
	– zaručená podmíněná – teplota předehřevu 150–200 °C – pro t > 25 mm

doporučené přídavné materiály pro svařování

el. obloukem ručně	E 44.71 (ČSN 05 5037)
automatem pod tavidlem	drát A 302 (ČSN 05 5373) s tavidlem Z 41 (ČSN 05 5711)
v ochranné atmosféře	drát E 44.23C (ČSN 05 5390)
plamenem	drát (ČSN 05 5323)

OBROBITELNOST	soustružení, hoblování	frézování, vrtání	broušení
polotovar [1] [2] stav. 1	16b	15b	—

## TECHNOLOGICKÉ ZKOUŠKY

zkouška smačknutím podle ČSN 42 0415

$$H = \frac{1,09 \cdot D \cdot a}{0,09 D + a}$$

zkouška rozšířováním podle ČSN 42 0415

d/D	0,9	0,8	0,7	0,6
D <sub>n</sub> - D D	16	17	18	19
· 100 [%]				

**Použití**

Ocel má zaručenou minimální hodnotu meze kluzu za zvýšených teplot, je vhodná na potrubí, součásti energetických a chemických zařízení podle ČSN 13 0020, ČSN 42 0090 a ČSN 69 0010.

# 17240 ~ 1.4301 ~ AISI 304 ~ X5CrNi18-10

**ČSN 41 7240**

Korozivzdorná austentická ocel

**OCEL**

**17 240**

## Chemické složení [hm. %]

C	Mn	Si	Cr	Ni	P	S
max 0,07	max 2,0	max 1,0	17,0–20,0	9,0–11,5	max 0,045	max 0,030

## Polotovary

- [1] tyče
- [3] trubky bezešvé
- [2] plechy
- [4] tlusté plechy

## Mechanické vlastnosti

Polotovar	[1]			[2]			
Rozměr t, d [mm]	< 60		60–100	100–150	< 10		
Stav	.4			.4			
Mez kluzu R <sub>p</sub> 0,2 [MPa] min	186			186			
Mez pevnosti R <sub>m</sub> [MPa]	490–686			490–686			
Tažnost A <sub>5</sub> [%] min	50	45	40	37	34		
Vrubová houževnatost	podél 196	podél 137	podél 98	–	podél 137		
KCU 3 [J.cm <sup>-2</sup> ] min	napříč 98	napříč 68	napříč 68	–	napříč 98		
Polotovar	[3]			[4]			
Rozměr t, d [mm]	do 89			30–80			
Stav	.4			.4			
Mez kluzu R <sub>p</sub> 0,2 [MPa]	186			181			
Mez pevnosti R <sub>m</sub> [MPa]	490–735			481–672			
Tažnost A <sub>5</sub> [%]	40			37			
Vrubová houževnatost	–			podél 132			
KCU 3 [J.cm <sup>-2</sup> ] min	–			napříč 98			
Modul pružnosti E [GPa]	20 °C	100 °C	200 °C	300 °C	400 °C	500 °C	600 °C
za zvýšených teplot	199	194	186	179	172	164	–
Nejnižší mez kluzu R <sub>p</sub> 0,2 [MPa]	20 °C	50 °C	100 °C	150 °C	200 °C	250 °C	300 °C
za zvýšených teplot	186	177	157	142	127	118	109
	400 °C	400 °C	400 °C				

## Fyzikální vlastnosti

Hustota ρ [kg.m <sup>-3</sup> ] . 10 <sup>3</sup> při 20 °C	Měrná tepelná kapacita c <sub>p</sub> [J·kg <sup>-1</sup> · K <sup>-1</sup> ] 7,9	Tepelná vodivost λ <sub>t</sub> [W.m <sup>-1</sup> · K <sup>-1</sup> ] 14,7	Rezistivita ρ [Ω.m] 730.10 <sup>-9</sup>
Teplová součinitel roztažnosti α [K <sup>-1</sup> ] . 10 <sup>-6</sup>	100 °C	200 °C	300 °C
	16	17	17
	400 °C	500 °C	
	18	18	

## Odolnost proti degradačním procesům

### ODOLNOST PROTI KOROZI

odolnost proti plošné korozii – odolává kyselině dusičné, slabým roztokům organických kyselin; odolnost proti korozii lze zvýšit leštěním; tvářením zastudena se korozivzdornost mírně snižuje  
odolnost proti mezikrystalové korozii – ve srovnání s ocelí 17 241 odolává lépe; při aplikaci svaru v silném korozním prostředí, nutno přežíhat celou součást s následujícím ochlazením na vzduchu

### ODOLNOST PROTI ŽÁRU

na vzduchu	do 850°C
v oxidačním sircém prostředí (obsahujícím SO <sub>2</sub> )	do 750°C
v redukčním sircém prostředí (obsahujícím H <sub>2</sub> S)	do 600°C
v páře	do 750°C
ve směsích plynech	do 550°C

### ODOLNOST PROTI TEČENÍ

Mez pevnosti při tečení v tahu [MPa] (střední hodnoty)

Teplota [°C]	560	580	600	620	640	660	680	700
R <sub>mT</sub> /10 <sup>4</sup>	163,8	142,2	121,6	104	87,3	72,6	60,8	48,1
R <sub>mT</sub> /3.10 <sup>4</sup>	135,3	114,7	96,1	80,4	66,7	54,9	44,1	(35,3)
R <sub>mT</sub> /5.10 <sup>4</sup>	122,6	103,0	85,3	71,6	57,9	47,1	(36,3)	(27,5)
R <sub>mT</sub> /10 <sup>5</sup>	104,9	89,2	73,5	60,8	50,0	(40,2)	(30,4)	(22,6)

## Technologické údaje

### TEPELNÉ ZPRACOVÁNÍ

rozpuštěcí žíhání 1 020–1 080 °C ochlazovat podle tloušťky na vzduchu nebo ve vodě  
žíhání ke snížení prutit 850–950°C ochlazovat na vzduchu

### TVAŘITELNOST

teploty tváření 1 150–850 °C ochlazovat na vzduchu

### SVÁŘITELNOST

zaručená doporučené přídavné materiály – elektroda VÚS-A3F

OBROBITELNOST soustruhání, hoblování frézování, vrtání  
[1] [2] .4 9b 9b

### TECHNOLOGICKÉ ZKOUŠKY

zkouška hloubením podle Erichse na 1 mm plechu 13

## Použití

Austenitická, svařitelná, nestabilizovaná, korozivzdorná ocel vhodná pro chemické zařízení včetně tlakových nádob. Vhodná pro prostředí oxidační povahy pro silné anorganické kyseliny jen při velmi nízkých koncentracích a v oblasti normálních teplot. Lze ji použít též pro prostředí vyžadující vysokou čistotu produktu (farmaceutický a potravinářský průmysl).

## Ostatní vlastnosti

Druh oceli podle způsobu výroby	Barevné značení podle ČSN 42 0010	Třída odpadu podle ČSN 42 0030
elektrocel	červená-černá-želená	026

# 17346 ~ 1.4401 ~ AISI 316 ~ X5CrNiMo17-12-2

<b>ČSN 41 7346</b>	<b>OCEL</b>
<b>STN 41 7346</b>	Korozivzdorná Cr-Ni-Mo ocel

**17 346**

## Chemické složení [hm. %]

C	Mn	Si	Cr	Ni	Mo	P	S
max 0,07	max 2,00	max 1,00	16,5–18,5	10,5–13,5	2,00–2,50	max 0,045	max 0,030

## Polotovary

[1] tyče tvářené za tepla

[2] plechy válcované za tepla

[3] tlusté plechy válcované za tepla

## Mechanické vlastnosti

Polotovar	[1]			[2]	
Rozměr t, d [mm]	≤ 60	60–100	100–150	≤ 10	10–30
Stav	.4			.4	
Mez kluzu R <sub>p</sub> 0,2 [MPa] min	206			206	
Mez kluzu R <sub>p</sub> 1,0 [MPa] min	245			245	
Mez pevnosti R <sub>m</sub> [MPa]	490–686			490–686	
Tažnost A <sub>5</sub> [%] min	45	40	35	34	30
Kontrakce Z [%]	—	—	—	—	—
Vrubová houževnatost podél min	196	137	98	—	137
KCU 3 [J . cm <sup>-2</sup> ] napříč min	—	98	69	—	98
Modul pružnosti E [GPa]		203			
Modul pružnosti ve smyku G [GPa]		—			
Polotovar	[3]				
Rozměr t, d [mm]	30–50				
Stav	.4				
Mez kluzu R <sub>p</sub> 0,2 [MPa] min	196				
Mez kluzu R <sub>p</sub> 1,0 [MPa] min	226				
Mez pevnosti R <sub>m</sub> [MPa] min	490				
Tažnost A <sub>5</sub> [%] min	35				
Vrubová houževnatost podél min	70				
KCU 3 [J . cm <sup>-2</sup> ] min napříč	49				
Vrubová houževnatost KCV <sup>196</sup> podél min	39				
Tvrdost HB max	200				
Modul pružnosti E [GPa]	203				
Modul pružnosti ve smyku G [GPa]	—				

Teplota [°C]	100	200	400	600	800
Modul pružnosti E [GPa] za zvýšených teplot	195	185	170	155	135

## Mechanické vlastnosti za nízkých teplot [2]

Teplota [°C]	20	-20	-50	-100	-150	-190
R <sub>p</sub> 0,2 [MPa]	260	270	340	390	440	500
R <sub>m</sub> [MPa]	590	710	800	950	1110	1290
A <sub>5</sub> [%]	60	87	84	67	60	56
KCV [J . cm <sup>-2</sup> ]	190	180	170	160	130	100

## Mez kluzu za zvýšených teplot

Teplota [°C]	50	100	150	200	250	300	350	400	450	500	550	600	650
R <sub>p</sub> 0,2 [MPa]	196	176	162	147	137	127	122	117	112	107	102	97	90
R <sub>p</sub> 1,0 [MPa]	226	206	192	177	167	157	152	147	142	137	132	127	120

## Fyzikální vlastnosti

Hustota ρ [kg . m <sup>-3</sup> ]	Měrná tepelná kapacita c <sub>p</sub> [J . kg <sup>-1</sup> . K <sup>-1</sup> ]	Teplotní součinitel roztažnosti α [K <sup>-1</sup> ]	Tepelná vodivost λ <sub>t</sub> [W . m <sup>-1</sup> . K <sup>-1</sup> ]	Rezistivita ρ [Ω . m]
8 000	440	16,5.10 <sup>-6</sup>	13,5	750.10 <sup>-9</sup>

## Odolnost proti degradačním procesům

### ODOLNOST PROTI PLOŠNÉ KOROZI

má zvýšenou schopnost pasivace a vyšší odolnost proti korozi v aktivním stavu; odolává kyselině sírové, fosforečné a dalším anorganickým kyselinám a agresivním prostředím

### ODOLNOST PROTI MEZIKRYSTALOVÉ KOROZI

při aplikaci svaru v silnějším korozním prostředí nutno po svaření přežíhat celou svařovanou součást; svarové spoje plechů do tl. 6 mm musí vyhovovat zkoušce podle ČSN ve stavu po svaření bez dalšího zcitlivění

### ODOLNOST PROTI OXIDACI ZA ZVÝŠENÝCH TEPLIT

na vzduchu do 850 °C

v oxidačním sirném prostředí (SO<sub>2</sub>) do 750 °C

v redukčním sirném prostředí (H<sub>2</sub>S) do 600 °C

v páře do 650 °C

### ODOLNOST PROTI TEČENÍ

#### Mez pevnosti při tečení v tahu R<sub>mT</sub> [MPa]

Teplota [°C]	550	575	600	625	650	675	700	725	750
R <sub>mT</sub> /10 <sup>4</sup>	260	220	179	143	111	84	65	50	39
R <sub>mT</sub> /10 <sup>5</sup>	196	155	118	90	69	49	37	28	23

## Technologické údaje

### TEPELNÉ ZPRACOVÁNÍ

žíhání ke snížení prutí 850–950 °C 10–15 min. na teplotě, ochlazovat na vzduchu

rozpuštěcí žíhání 1 020–1 080 °C ochlazovat buď na vzduchu nebo ve vodě

### TVAŘITELNOST

teploty tváření 1 150–850 °C ochlazovat na vzduchu